

Vysoká škola: STROJNÍ A TEXTILNÍ
Fakulta: textilní

Předělnictví a ruční výroba
Katedra: Školní rok: 62/63

DIPLOMNÍ ÚKOL

pro s. Karla Raicha
textilní technologie, stroje a zařízení
obor

Protože jste splnil požadavky učebního plánu, zadává Vám vedoucí katedry ve smyslu směrnic ministerstva školství a kultury o státních závěrečných zkouškách tento diplomní úkol:

Zařízení na nanášení a upevnování práškových

Název thematu: plastických lát na povrch textilie

Pokyny pro vypracování:

- 1) Provést měření počátku tečení polyetylenu v závislosti na různé intenzitě toku sálavého tepia a na různé tlouštce nanesené vrstvy PE.
- 2) Provést výpočet toku sálavého tepia procházejícího povrchem materiálu v závislosti na vzdálenosti infrazářiče od povrchu materiálu.
- 3) Navrhnouti způsob rozložení zářičů.
- 4) Vypočítati totéž, jako dle bodu 2 ale pro navrzené rozložení zářičů.
- 5) Navrhnout celkovou koncepci s ohledem na dávkovací zařízení a nabáleci zařízení.

Rozsah grafických laboratorních prací:

Rozsah průvodní zprávy:

Seznam odborné literatury:

Cinelka: Sálavé vytápení

Borchert-Jubitz: Technika infračerveného záření

Zpráva VÚTT o postupu a řešení výzkumného úkolu FISOP

Vedoucí diplomní práce: Prof.Ing.Jaroslav Simon

Konsultanti: Ing.R.Kačeřovský, VÚZ

Fr.Hruška, ředitel závodu Lina, Česká Skalice.

Datum zahájení diplomní práce: 10. června 1963.

Datum odevzdání diplomní práce: 20. července 1963.

L. S.

Vedoucí katedry

Děkan

v Liberci dne 10. června 1963.

Platnost práva je od 1. 1. 1982 do 31. 12. 1982
Vydáno dle § 19 českého zákona o ochraně Sd.
31. 6. 1982 § 19 českého zákona o ochraně Sd.

ZAŘÍZENÍ NA NANÁŠENÍ A UPEVNĚOVÁNÍ

PRÁŠKOVÝCH PLASTICKÝCH HMOT

NA POVRCH TEXTILIE.

Prohlašuji, že jsem diplomovou práci
vypracoval samostatně.

Ve Dvoře Králové n. L., dne 20. července 1963.

Karel Raich
.....

O B S A H .

Úvod	str.	5
Tepelná fixační zona	str.	6
Zjištování počátku tečení PE	str.	8
Prostorové rozdělení intenzity sálání	str.	10
Způsob uložení zářičů	str.	21
Stanovení optimální vzdálenosti zářičů	str.	21
Dávkovací zařízení	str.	28
Nabálecí zařízení	str.	35
Zachycování propadlých částeček PE	str.	40
Závěr	str.	41
Seznam použité literatury	str.	42
Seznam diagramů	str.	43
Seznam výkresů	str.	43

Autorské právo se řídí směnicemi MŠK pro státní
zavárečné zkoušky č. j. 31 727/62-III/2 ze dne
13. července 1962-Vestník MŠK XVIII, sešit 24 ze dne
21. 8. 1962 § 19 autorského zákona č. 115/53 Sb.

Autorské právo se řídí směrnicemi M. o státní
závěrečné zkoušky č. j. 31 ze dne
13. července 1962. 4 za dne
31. 8. 1962 v 19 hodin soudce L. Černý č. 115/53 Sb.

Ú V O D .

Čtvrtý bod usnesení XII. sjezdu Komunistické strany Československa říká:

V souladu s dosaženou životní úrovní i s jejím předpo-kládaným zvýšením zabezpečit odpovídající rozvoj spotřebního průmyslu tak, aby na trhu bylo zboží vysoké kvality v dostatečném množství a v žádaném sortimentu. Při rozvoji spotřebního průmyslu jít především cestou rekonstrukce závodů, zaváděním nového výrobního zařízení na nejvyšší technické úrovni a dále i cestou účelné organizace výroby.

Zpráva ÚV KSČ "O výhledech dalšího rozvoje naší socialistické společnosti", usnesení XII. sjezdu KSČ poukazují tedy na zaostávání technického rozvoje v lehkém průmyslu. To se v plné míře vztahuje i na textilní průmysl.

Je nutné uskutečňovat zásadu: socialisticky pracovat - socialisticky žít. Aby se člověk mohl více věnovat svému sebevzdělání, mohl se vyžívat kulturně, mohl se věnovat sportu, je třeba zkracovat dle možnosti pracovní dobu. To ovšem nelze na úkor produkce, ale zaváděním nové techniky, komplexní mechanizace a automatizace.

T e p e l n á f i x a č n í z o n a .

Tak zvané krejčovské tuženky t.j. tkaniny používané pro vyztužení částí oděvů se upravují tím způsobem, že tkanina se apretuje tužící lázní, která jí dodá patřičné tuhosti.

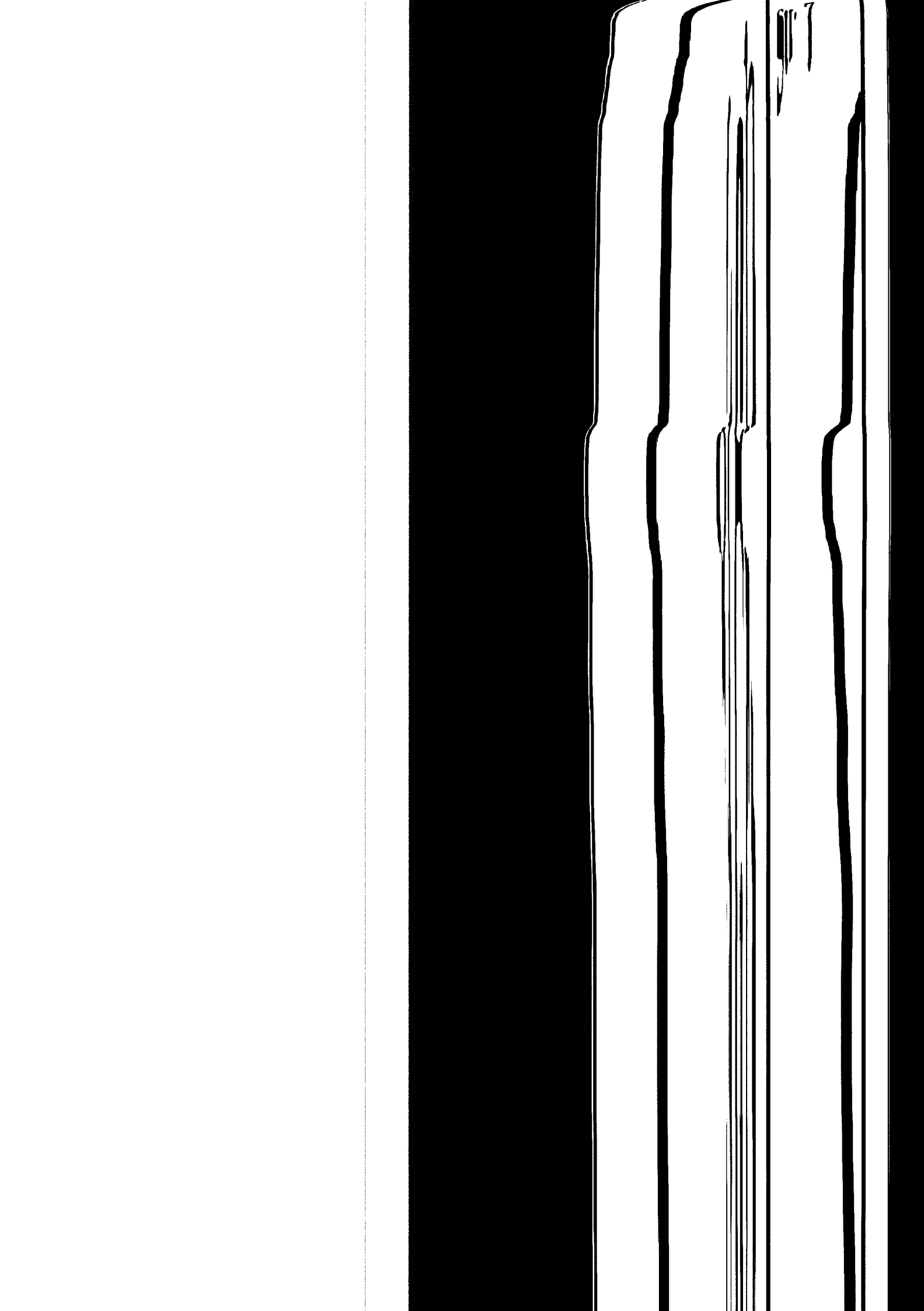
Ve Výzkumném ústavu zušlechťovacím ve Dvoře Králové n.L. byl navržen à laboratorně vyzkoušen nový způsob úpravy těchto tkanin.

Na tkaninu se na nese plastická hmota polyethylen v práškovitém stavu, nataví se a tím se fixuje na povrchu tkaniny, která získá patřičné tuhosti a při tom neztratí nutnou průdušnost.

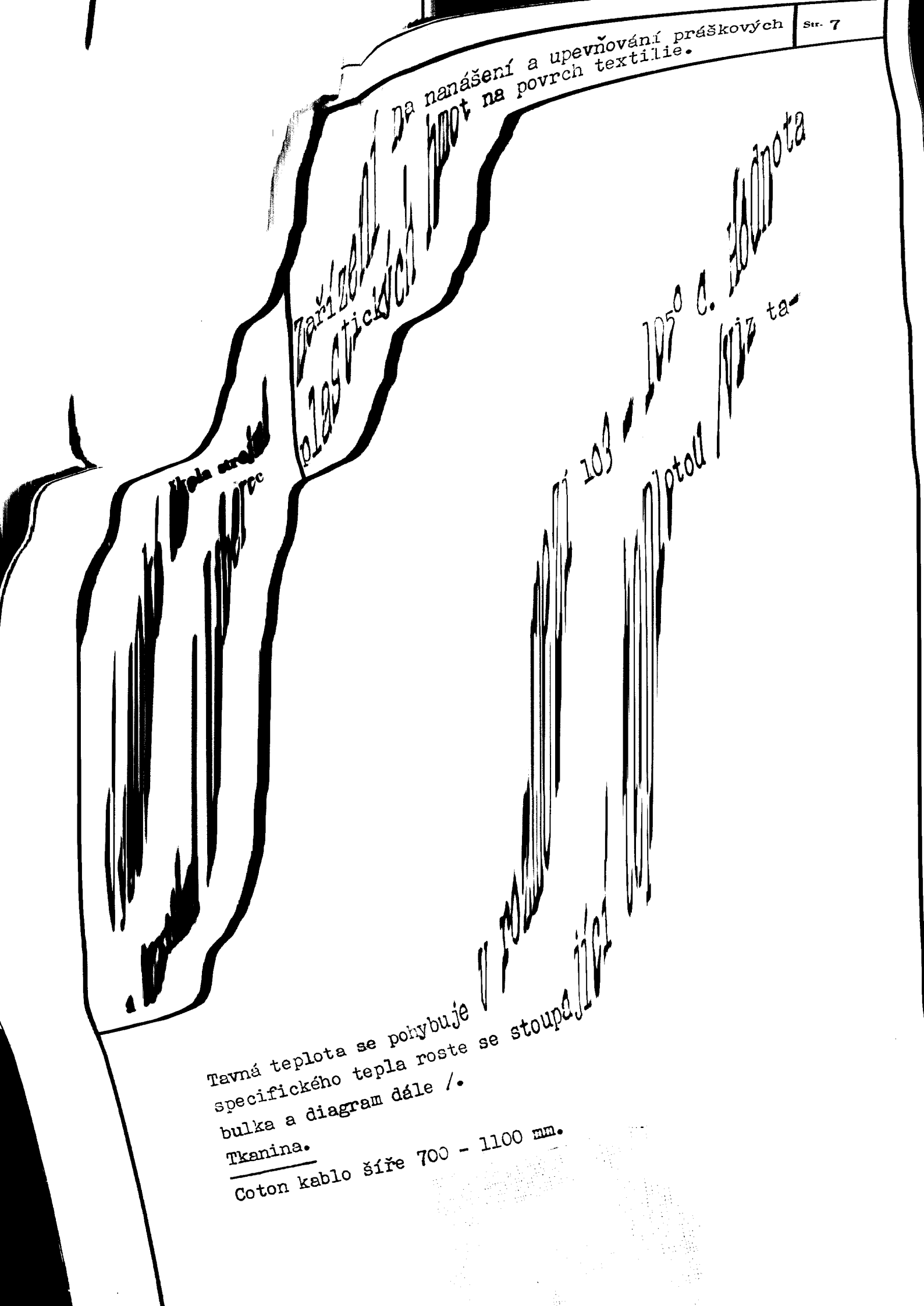
Mým úkolem bylo navrhnout zařízení, které by zmíněné operace t.j. nanášení a fixaci polyethylenu na tkaniň provádělo. Zařízení má pracovat v národním podniku Lina, závod II, Česká Skalice.

Po konsultaci ve VÚZ, Dvůr Králové n.L., v n.p. Lina, Česká Skalice a v literatuře byla získána tato data. Nanášená hmota.

Práškový polyethylen typu Coathylene P 12 - III/IV, výrobek CIC Anglie.



Na nanášení a upevňování práškových
lát na povrch textilie.



Tavná teplota se pohybuje v rozmezí 103 - 105° C. Hodnota specifického tepla roste se stoupající teplotou /viz tabulka a diagram dále /.

Tkanina.

Coton kabel šíře 700 - 1100 mm.

Nanášené množství.

40 g/m².

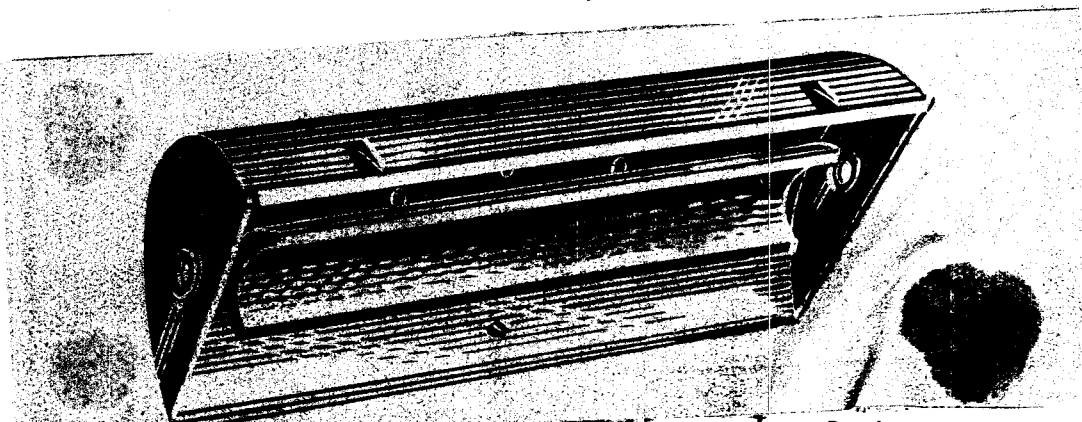
Zdroj tepelné energie.

Elektrický keramický infrazářič typu 510 N, výrobce Elektro-Praga, Hlinsko.

Příkon 750 W.

Povrchová teplota 587 °C

Délka vyzařované vlny $\lambda = 3,34 \mu$



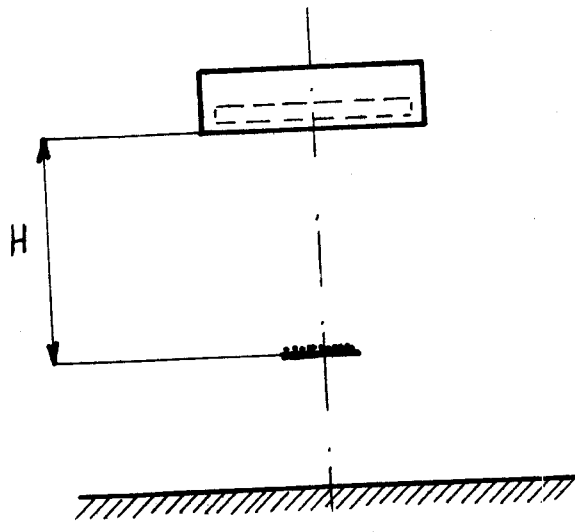
Na měření množství tkани v tepelné zoně je třeba znát prostorové rozdělení intenzity sálání zářiče a schopnost příslušné vrstvy PE nanesené na tkaničně, pohlcovat tepelnou energii, předávanou sáláním.

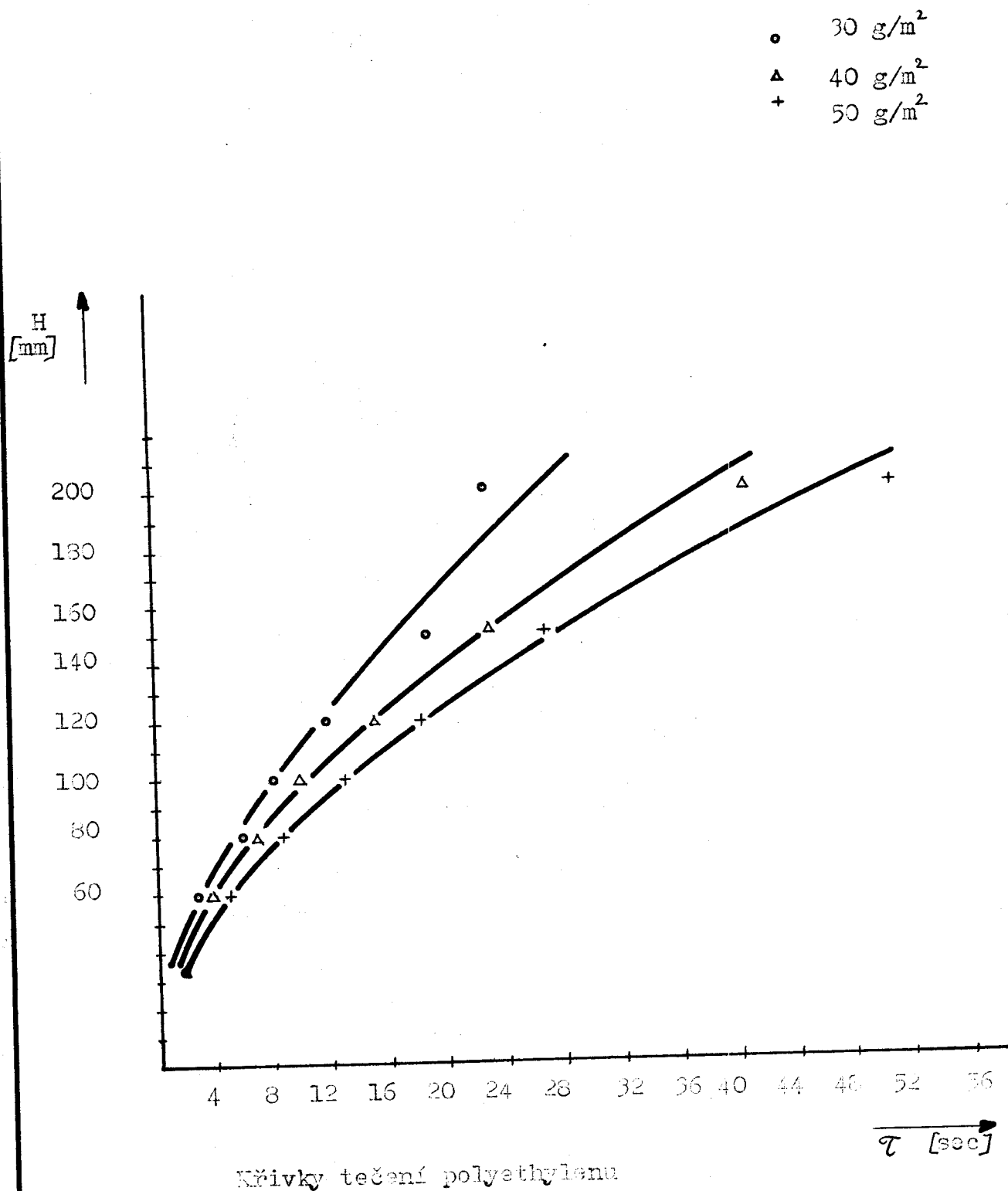
Zjištování počátku tečení polyethylenu naneseného na
tkanině.

Byla provedena serie zkoušek, při kterých byl měřen čas od okamžiku vsunutí vzorku pod záříč až do okamžiku, kdy polyethylen začal téci.

Byla prováděna měření na vzorcích o ploše 100 cm^2 s různými vrstvami polyethylenu, které odpovídaly množství 30, 40, 50 g/m^2 , při čemž se měnila vzdálenost vzorku od zářiče - 60, 80, 100, 120, 150, 200 mm. Získané hodnoty vymesemé do tabulky a diagramu vypadají následovně.

H [mm]	T [sec]		
	30 [g/m ²]	40 [g/m ²]	50 [g/m ²]
60	3	4	5
80	5,2	7,2	8,6
100	8,4	10,2	13,4
120	12	15,6	18,2
150	19	23,4	27,4
200	33	41,4	51,2





Křivky tečení polyethylenu

Prostorové rozdělení intenzity sálání zářiče.

Prostorové rozdělení intenzity sálání bylo pro-měřováno v Ústavu pro výzkum strojů ČSAV v Praze na zá-říčích Kovotechna, které se téměř shodují se zářiči Elektro-Praga.

Přístroj k měření intenzity sálání sestrojený v VUS je založen na principu měření sálavé energie ab-sorbované citlivým elementem - lamalkou, která sě ab-sorbovanou energií ohřeje. Rozdíl teploty lamelky a studeného spoje, jehož teplota není ovlivňována sálá-mím / konstantní teplota udržována průtokem vody / je úměrný intenzitě osálání lamelky. Rozdíl teplot je mě-řen termočlánkem. / Podrobnejší viz literatura./

Zářič vysílá záření do celého prostoru, při čemž pouze část energie vyzařovaná do předního poloprostoru je užitečná. Pro zářič platí rovnice

$$Q_p = Q_u + Q_n + Q_k$$

Q_p ... příkon zářiče / kcal / hod /

Q_u ... teplo sdělené sáláním do předního poloprostoru / teplo užitečné // kcal / hod /

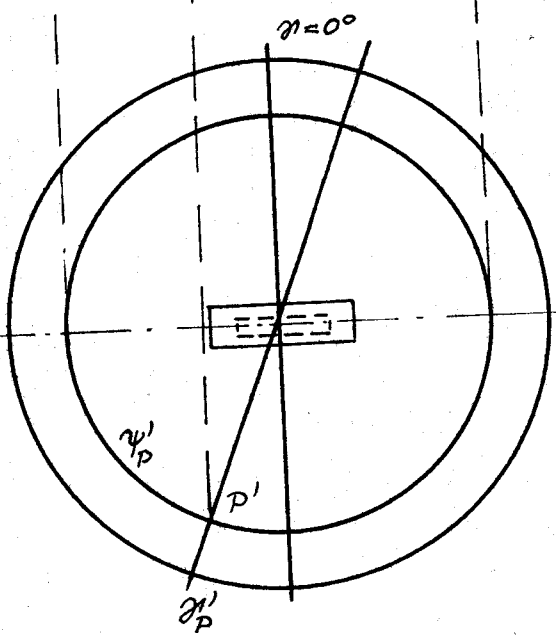
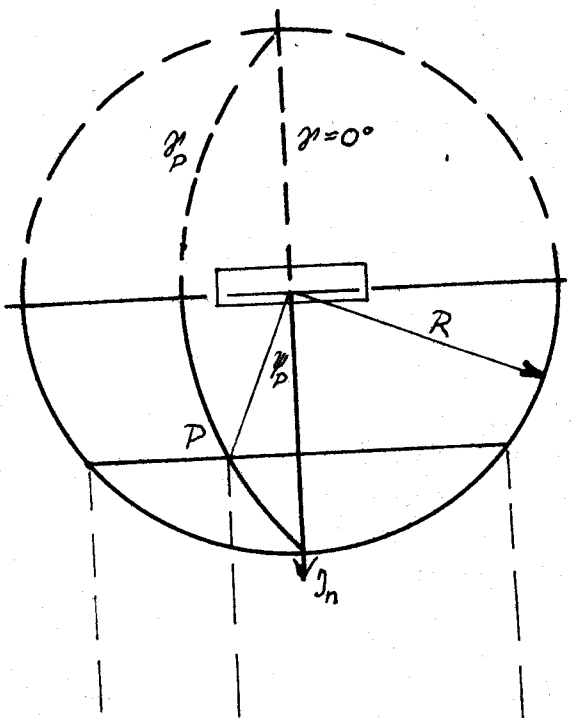
Q_n ... teplo sdílené sáláním do zadního poloprostoru / teplo nevyužité // kcal / hod /

Q_k ... teplo sdílené konvekcí / kcal / hod /

Nás zajímá energie vyzařovaná do předního poloprostoru.

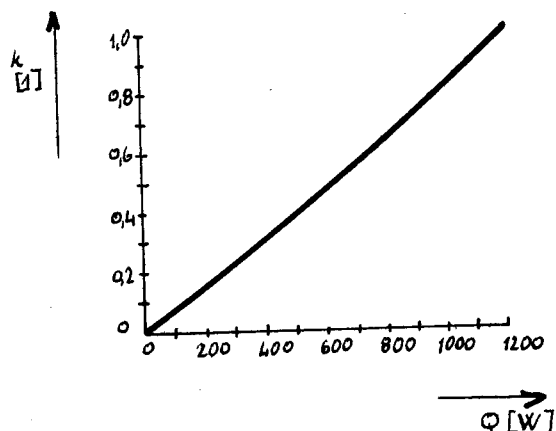
Každý bod poloprostoru si můžeme určit podobně jako zeměpisné souřadnice. ψ Je úhel určený normálou zářiče a vektorem intenzity sálání v daném směru. Úhel

φ , je úhel promítnutý do roviny kolmé k normále, který spolu svírají vektor intenzity a směr ψ_0 .



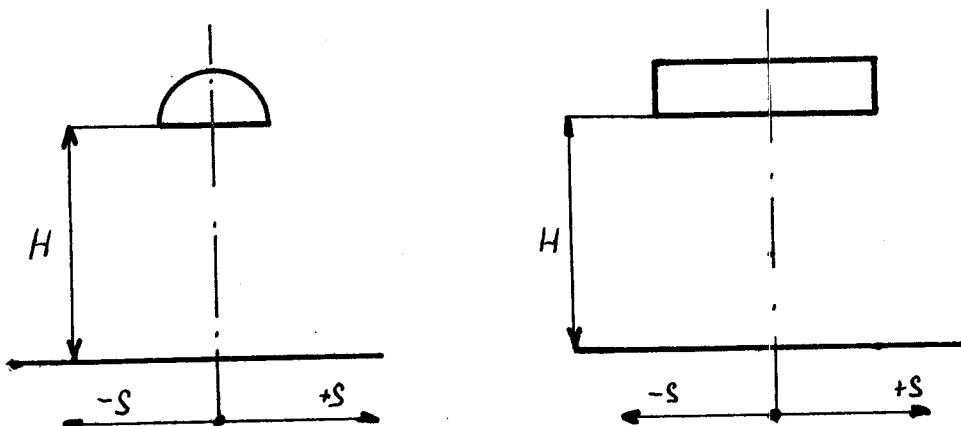
Znázornění převodu souřadnic bodu napovrchu
koule do roviny

Na tomto systému souřadnic byl také sestřojen diagram rozložení intenzity záření. Daný diagram platí pro zářič o příkonu 1200 W. Pro zářič jiného příkonu nutno použít přepočítávacího koeficientu, který zjistíme z následujícího diagramu.



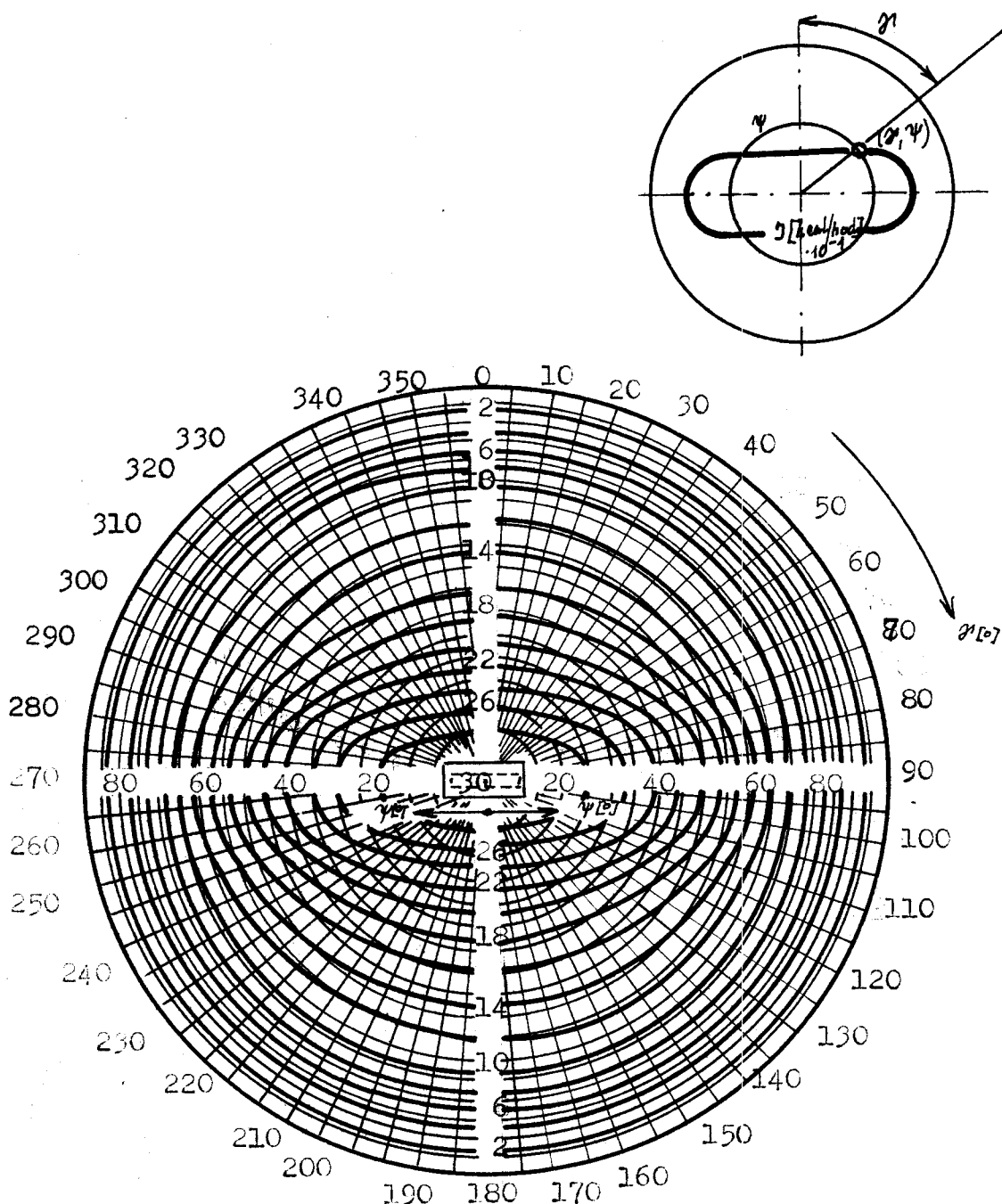
Pro další nás však zajímá rozložení intenzity v závislosti na horizontální a vertikální vzdálenosti v příčném a podélném směru zářiče.

Ze základního polárního diagramu byly vyneseny křivky rozložení intenzity záření v závislosti na vertikální vzdálenosti od zářiče a horizontální vzdále - nosti od normály zářiče.



H [mm]	cotg ψ	50				100				150				200				250				300				400			
		$\eta=0$	$\eta=90^\circ$	cotg ψ	$\eta=0$	$\eta=90^\circ$																							
50	1,2	3940	87	130	0,5	55°	63	78	0,4	6810	45	46	0,3	7320	29	29	0,24	76,3	26	24	0,15	6940	14	15					
80	1,6	32°	110	145	0,8	5120	78	102	0,5	6150	62	69	0,4	6810	46	46	0,32	7210	38	41	0,20	7320	18	21					
100	2,0	2630	122	156	1,0	45°	85	116	0,67	5610	68	87	0,5	6330	55	73	0,40	6810	46	45	0,2	76°	24	26					
150	3,0	1820	138	165	1,5	3340	105	141	1,0	45°	84	116	0,75	5310	72	93	0,6	590	63	78	0,37	3110	45	46					
200	4,0	14°	150	168	2,0	2630	122	154	1,34	3640	101	136	1,0	45°	84	116	0,8	6120	78	102	0,5	6330	55	73					
250	5,0	1020	162	170	2,5	2140	132	162	156	31°	114	148	1,25	3830	94	138	1,0	45°	84	116	0,62	5810	66	80					
300	6,0	320	165	172	3,0	1820	140	164	2,0	2630	122	154	1,5	3340	105	145	1,2	3940	87	130	0,75	5310	72	93					

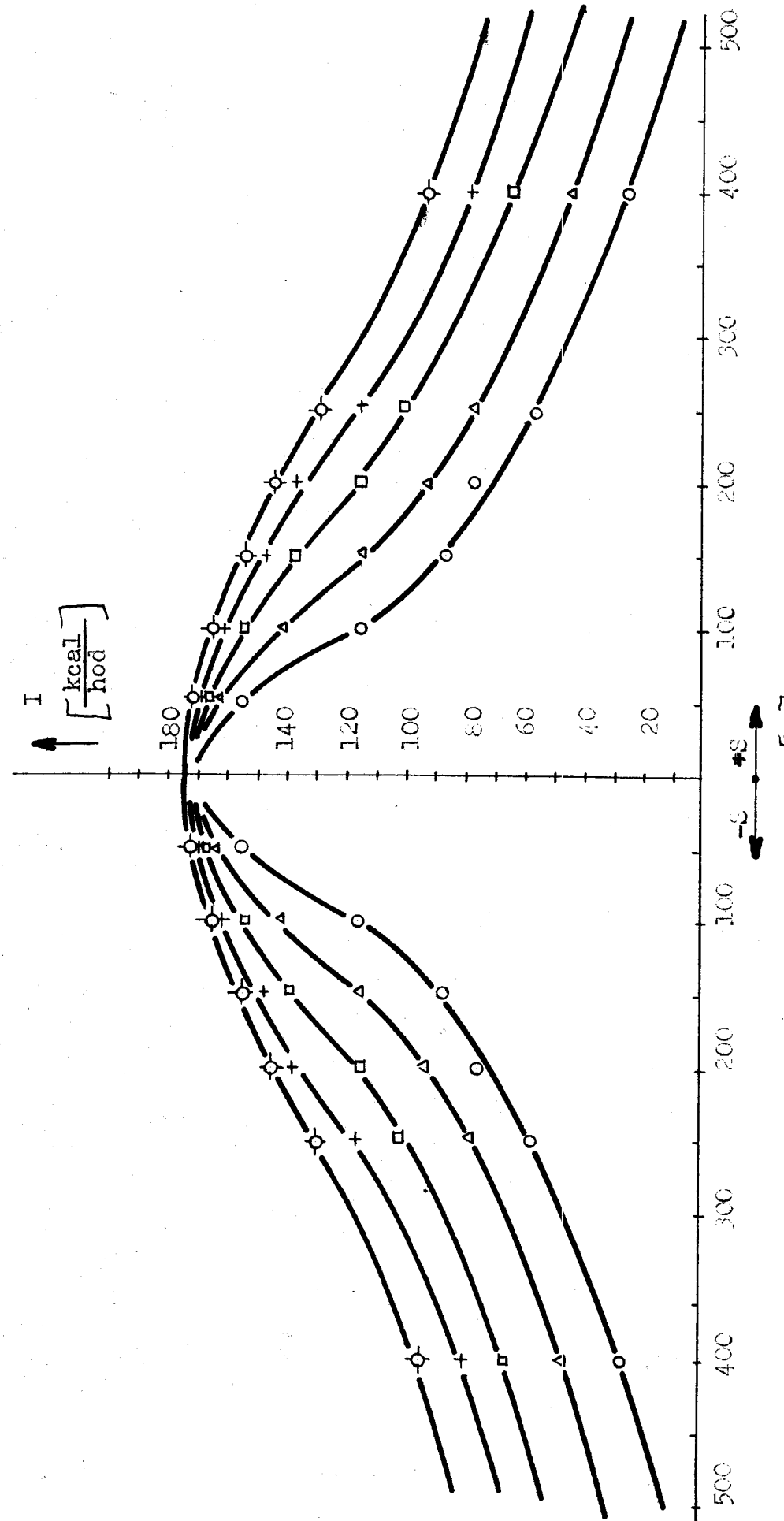
Tabulka převodů horizontálních (S) a vertikálních (H) vzdáleností na úhel a jemu odpovídající střední intenzita sítání (I)



Prostorové rozložení
intenzity sálání u zdiče

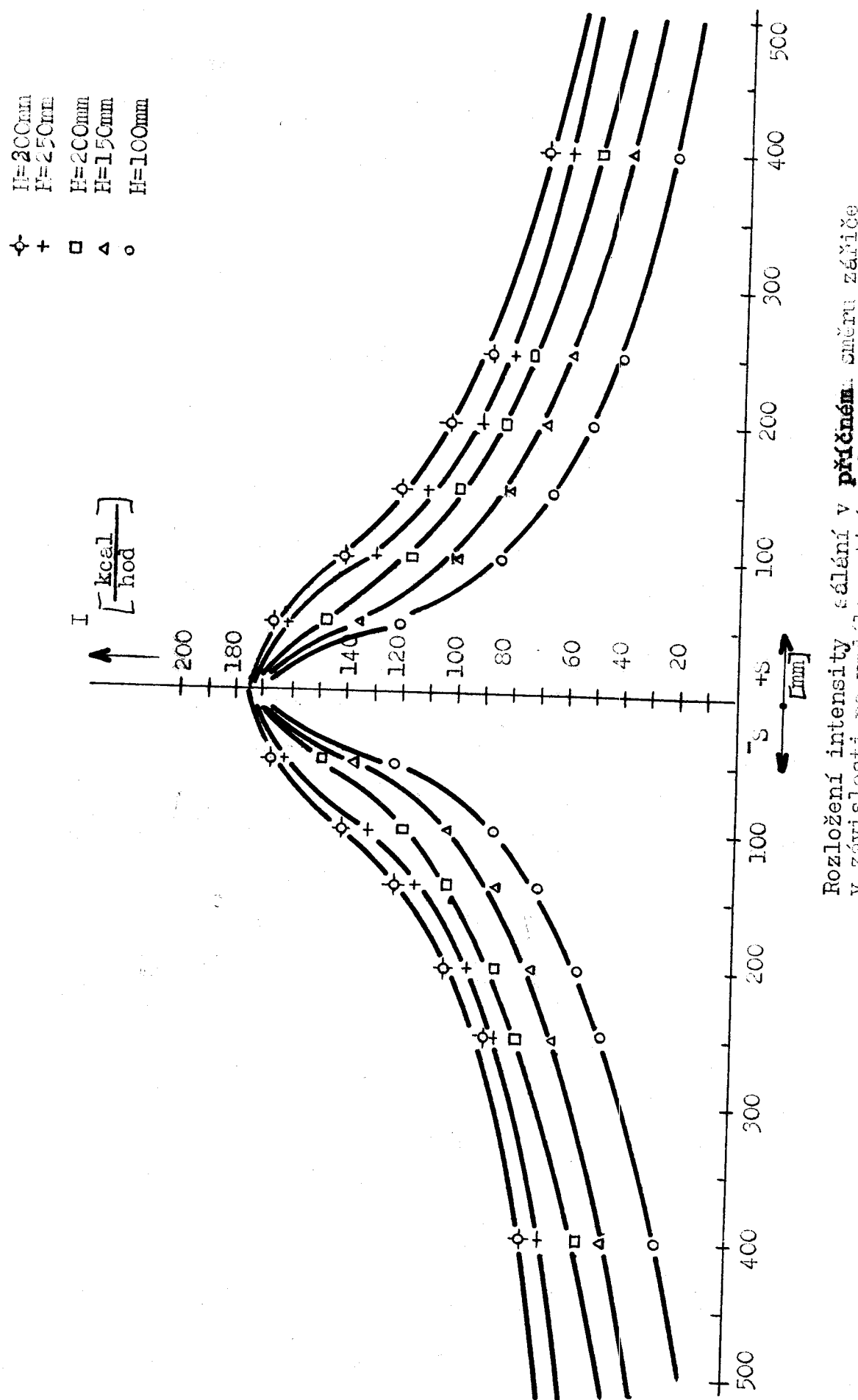
$E=200\text{mm}$
 $H=250\text{mm}$
 $H=200\text{mm}$
 $H=150\text{mm}$
 $H=100\text{mm}$

◆ + □ ▲ ○



Pozložení intenzity vlnění v závislosti na vzdálosti

na výkonem zdroje S



Celkové množství tepla sdíleného sáláním na plochu S zjistíme, když průměrnou intensitu sálání I násobíme prostorovým úhlem ω , ve kterém se plocha nachází

$$Q = \omega \cdot I / \text{kcal/hod} /$$

Velikost prostorového úhlu zjistíme ze vztahu

$$\omega = \frac{S}{R^2}$$

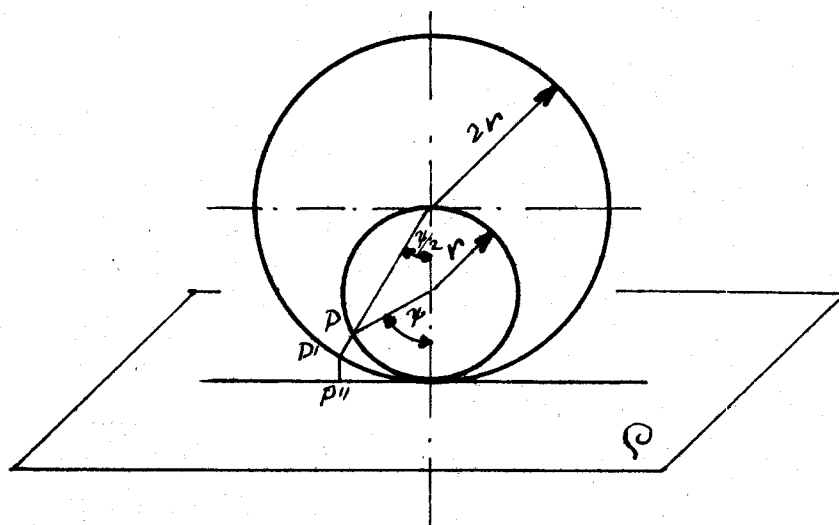
S ... plocha

R ... poloměr koule / vzdálenost plochy od středu záříče /

Dosazením tedy dostaváme

$$Q = I \frac{S}{R^2} / \text{kcal/hod} /$$

Kdybychom chtěli zjišťovat celkové množství sdíleného tepla na kulovou plochu, museli bychom znát skutečnou velikost této plochy, kterou zjistíme užitím Lambertova azimutálního stejnopláchého zobrazování. Při tomto zobrazování bod na povrchu koule zobrazujeme jako rovnoběžný průmět bodu P na povrchu koule s dvojnásobným průměrem do roviny ζ



Výpočet prostorového úhlu a skutečně dopadlého tepla
pro zkoušené vzorky.

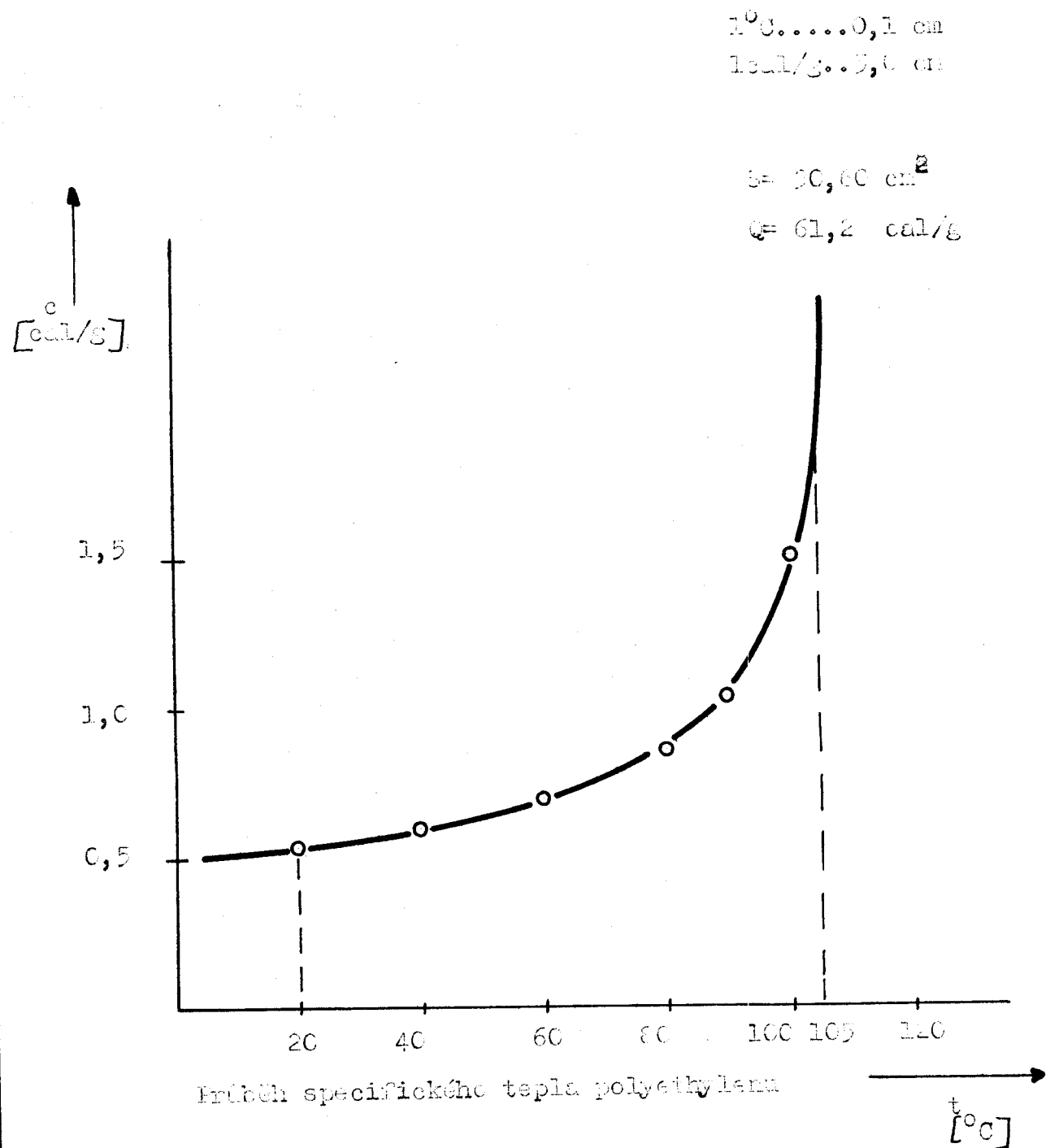
$$S = 100 \text{ cm}^2$$

H mm	w	Q kcal/hod
60	2,78	484
80	1,56	270
100	1	174
120	0,695	120
150	0,445	77
200	0,25	43,5

Srovnáním právě zjištěného tepla s dobou τ , po kterou byl vzorek ozářen než počal polyethylen téci, zjistíme množství tepla, které na vzorek skutečně dopadlo.

H mm	Q kcal/ τ		
	30 g/m ²	40 g/m ²	50 g/m ²
60	0,403	0,538	0,67
80	0,390	0,536	0,64
100	0,405	0,502	0,645
120	0,405	0,520	0,615
150	0,395	0,488	0,570
200	0,400	0,500	0,62
Průměr	0,399	0,514	0,627

Polyethylen za tu dobu přijal množství tepla, které zjistíme planimetrováním diagramu proběhu skupenského tepla / plocha pod křivkou od 20° do 105° C / a množství polyethylenu na vzorku.



Planimetrováním bylo zjištěno $Q = 61,2 \text{ cal/g}$ což odpovídá danému množství na 100 cm^2 .

G [g/dm ²]	Q [cal]
0,3	18,4
0,4	24,5
0,5	30,6

Poměrem hodnot tepla dopadlého a pohlceného dostaneme poměrnou pohltivost / emisní součinitel / dané vratvy polyethylenu na dané tkanině.

$$\epsilon = \frac{\text{teplota pohlcená polyethylenem}}{\text{teplota dopadlá na plochu}}$$

G [g/m ²]	ϵ
30	0,0462
40	0,0475
50	0,0482

Můžno tedy říci, že polyethylen ve vratvě 30 - 50 g/m² na dané tkanině pohltí 5 % tepla vyzářeného zářičem.

Výpočet rychlosti tkaniny.

$$v = \frac{s}{t}$$

$$t = \frac{\text{množství tepla dopadajícího za hod. emis. souč.}}{\text{množství tepla potřebné k natavení}}$$

$$v = \frac{s \cdot I \cdot c \cdot \varrho \cdot \epsilon \cdot 1000}{Q \cdot 60}$$

Autorské právo se týká výrobce za dne
závěrečné zkoušky 24. 7. 1962 pro dne
13. července 1962. 31. 8. 1962 § 115/53 Sb.

- s ... délka tavící zony / m /
 v ... rychlosť / m/min /
 Q ... množství tepla potřebné k natavení polyethylenu
 / kcal /
 I ... průměrná intensita sálání / kcal/hod /
 c_u ... prostorový úhel příslušející ploše S
 ε ... koeficient pohltivosti

Způsob uložení zářičů.

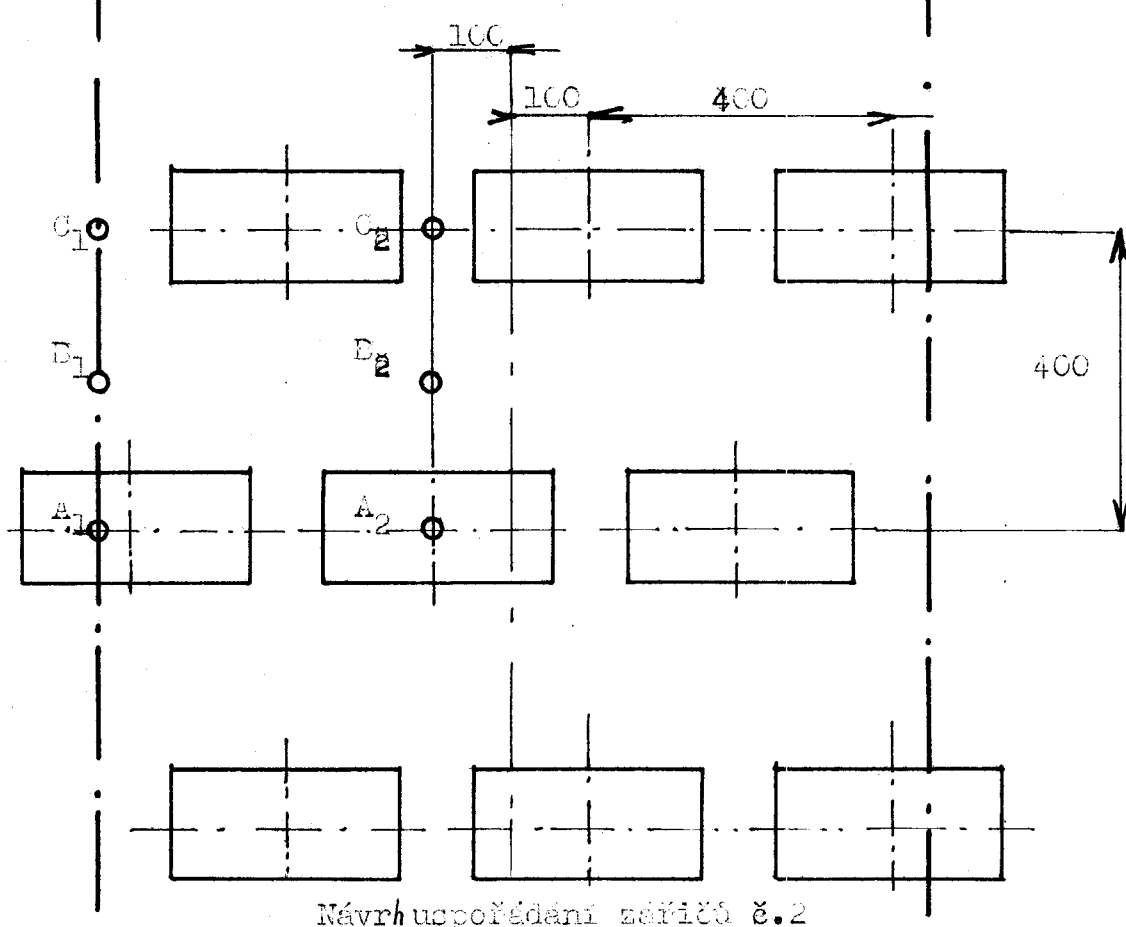
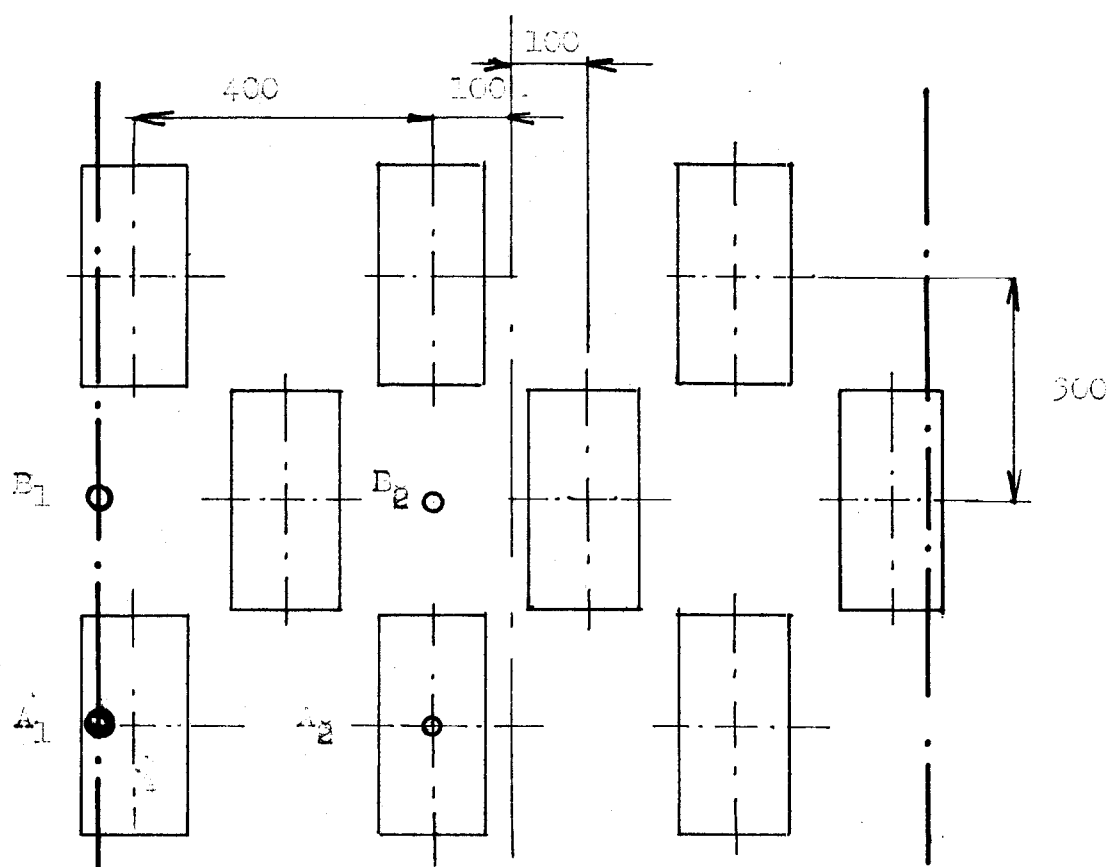
Abychom dosáhli dobrého ohřátí okrajů tkaniny, potřebujeme větší rozptyl na šířku tkaniny. Z pohledu na diagramy v intensity záření vyplývá, že zářiče pro rovnoramennější rozložení záření po šířce tkaniny musí být uloženy příčně / viz obrázek návrh č. 2 /.

Uložení / viz obrázek uložení č. 1 / navrhované n.p.
 Lina má velké rozdíly v množství dopadlého tepla po šířce tkaniny.

Stanovení optimální vzdálenosti H od tkaniny.

Bod B₁ návrhu čís. 2.

H [mm]	R ² [cm ²]	c _u	I [kcal/hod]	Q [kcal/m ² , hod]
60	436	23,0	29	670
80	464	21,5	46	990
100	500	20,0	55	1100
120	544	18,2	64	1130
150	625	16,0	72	1150
160	656	15,3	75	1142
200	800	12,4	85	1050
250	1025	9,7	94	910
300	1300	7,7	105	805



Dále byla provedena kontrola nejhůře / A₁, B₁, C₁ / a nejlépe / A₂, B₂, C₂ / ozařovaných bodů. Bylo počítáno pro horizontální vzdálenost H 100, 150, 200 mm.

H	A ₁	B ₁	C ₁	A ₂	B ₂	C ₂	
100	12569	2017	804	18080	2200	3190	
Ø		5130			7823		rozdíl 2693 kcal/m ² hod
150	7012	2550	1265	8960	2680	2810	
Ø		3609			4816		rozdíl 1207 kcal/m ² hod
200	4550	2710	1535	5875	3040	3420	
Ø		2598			4111		rozdíl 1513 kcal/m ² hod

Optimální vzdálenost je tedy 150 mm. Vyplývá z rozdílu průměrného tepla v dráze 1 a 2.

Byl kontrolován též návrh 1.

H	A ₁	B ₁	A ₂	B ₂	
150	6192	7514	9645	3620	
Ø	3838		6632		rozdíl 2794 kcal/m ² hod

Rozdíl tepla u návrhu čís. 1 a čís. 2 nám dává, že návrh uspořádání zářičů čís. 2 je výhodnější.

Pohledem na schema vyobrazení přichází myšlenka, že zmenšením rozteče zářičů ve směru chodu tkaniny nám vzroste sčítáním dvou sousedních řad zářičů intenzita záření. Skutečně tomu tak je, ovšem na úkor délky dráhy, z čehož nám kontrolním výpočtem vyjde nižší výrobní rychlosť. Optimální vzdálenost zářičů je 400 mm.

Výpočet výrobní rychlosti vzhledem k nejméně přízni-vě ozařovanému okraji tkaniny šíře 1100 mm.

○ platí pro 2

+ platí pro 1

$$Q \left[\frac{\text{kcal}}{\text{m}^2 \text{hod}} \right]$$

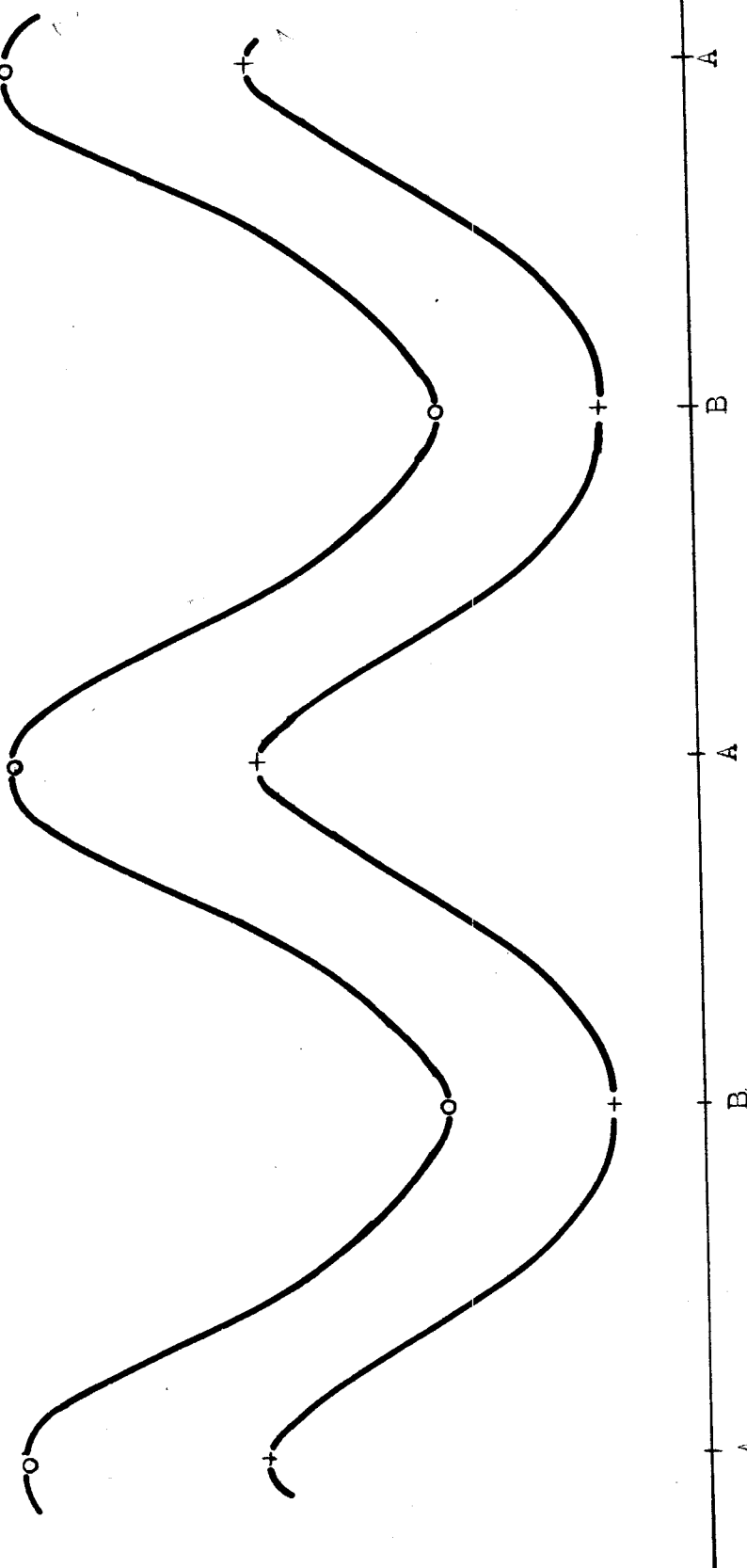
10000

8000

6000

4000

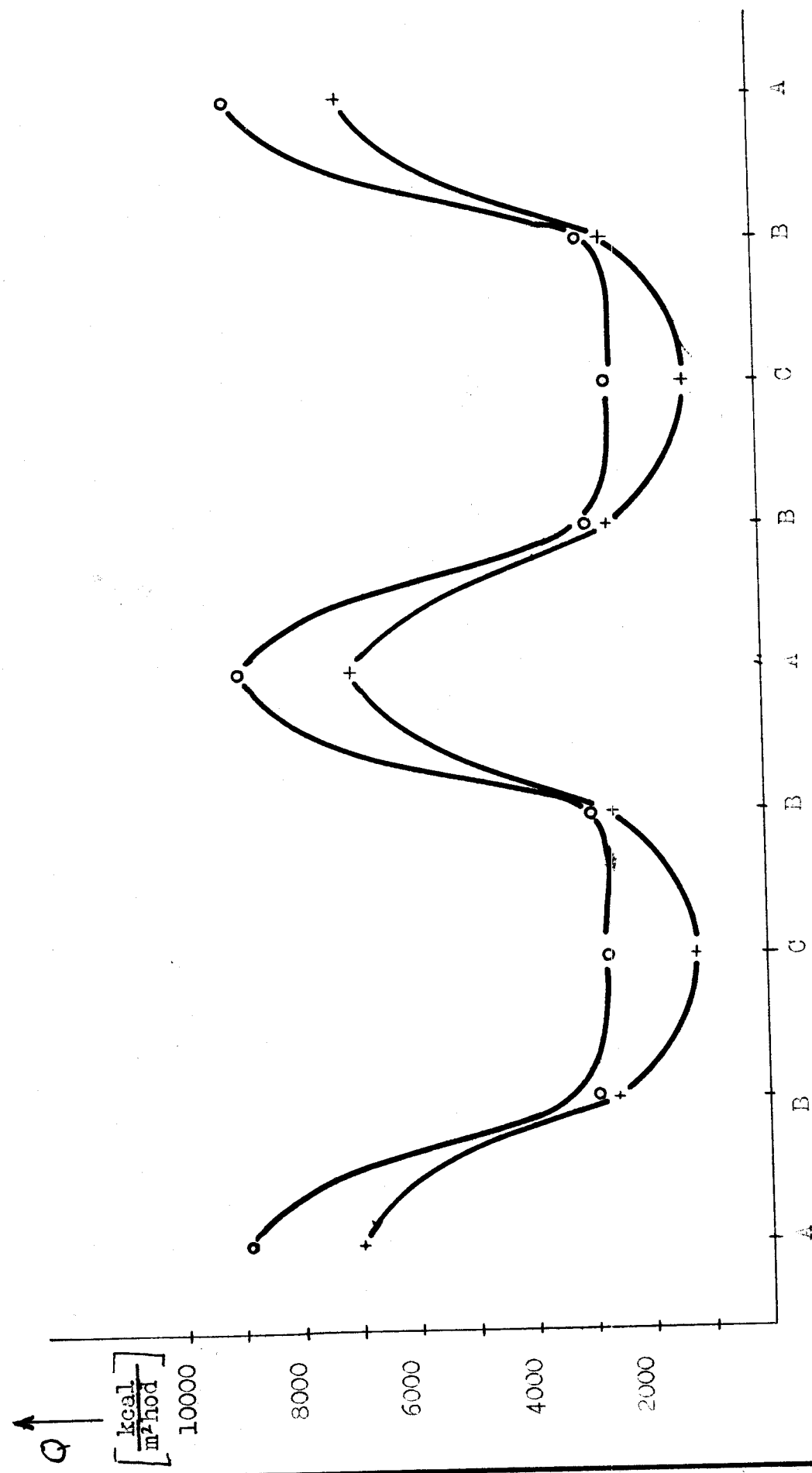
2000



Křivky průběhu tepelné energie body 1 a 2 u návrhu č. 1.

• platí pro 2

+ platí pro 1



Průběh tepelné energie body 1 a 2 u návrhu č. 2

$$\text{bod } A_1 \quad Q_A = 7012 \text{ kcal/mhod}$$

$$\text{bod } B_1 \quad Q_B = 2250 \text{ kcal/mhod}$$

$$\text{bod } C_1 \quad Q_C = 1265 \text{ kcal/mhod}$$

Z toho střední teplo

$$Q_s = \frac{Q_A + Q_B + Q_C}{3}$$

$$Q_s = \frac{7012 + 2250 + 1265}{3}$$

$$Q_s = 3609 \text{ kcal/m}^2\text{ hod}$$

Dosazením do vzorce pro rychlosť

$$v = \frac{s \cdot Q_s \cdot \xi}{Q_c \cdot 60}$$

$$v = \frac{3,2 \cdot 3609 \cdot 0,0475 \cdot 1000}{245 \cdot 60}$$

$$v = 3,75 \text{ m/min}$$

Výrobní rychlosť nám tedy vychází 3,75 m / min. Nutno ovšem poznamenat, že vypočítaná rychlosť odpovídá nejnepříznivějším podmínkám. Vyložíme-li strop komory mezi záričí a její boční stěny hliníkovým plechem / stačí síla 0,5 mm /, bude odražené záření od vrstvy polyethylene opět odraženo zpět atropem. Čím lesklejší povrch, tím bude odraz lepší. Dále se během provozu celý strop i konstrukce stroje zahřeje konvektí a sáláním od záričů, takže i vlastní strop nám bude vyzařovat teplo. Možno tedy uvažovat, že rychlosť nám pak stoupne asi na dvojnásobek až čtyřnásobek, t.j. 7,5 až 15 m/min. To vyhovuje požadované produkci.

Má se vyrobit 250000 m za IV. čtvrtletí t.j. 74 pracovních směn při jednosměnném provozu.

$$v = \frac{250000 \text{ m}}{36500 \text{ min}}$$

$$v = 7,05 \text{ m / min}$$

Závěrem možno říci, že tavící zona v uspořádání zářičů podle návrhu čís. 2 pro požadovanou výrobní rychlosť bude vyhovovat.

Dávkovací zařízení.

Prášek polyethylenu bude odebírána ze zásobníku dávkovačím válcem / drážkový hřídel /, který hmotu bude sypat na vibrační síto.

Pohybovým elementem síta možno volit vačku, klikový mechanizmus, nebo elektromagnetické vibrátory různých typů.

Požadavkem je rovnoměrné vrstvení polyethylenu na povrch tkaniny, čemuž vyhovuje velká frekvence a malá amplituda pohybu síta.

Jako nejjednodušší a nejvhodnější se jeví pro tento případ elektromagnetický vibrátor. Podstatou tohoto vibrátoru je elektromagnet. Je známo, že kotva elektromagnetu je přitahována jádrem magnetu silou, která je dáná rovnicí

$$F = 4 B^2 \cdot s \cdot 10^{-8} \quad [\text{kg}]$$

s ... plocha elektromagnetu

B ... sycení vzduchové mezery

Z ... počet závitů drátu

v ... šířka vzduchové mezery

Dosazením za

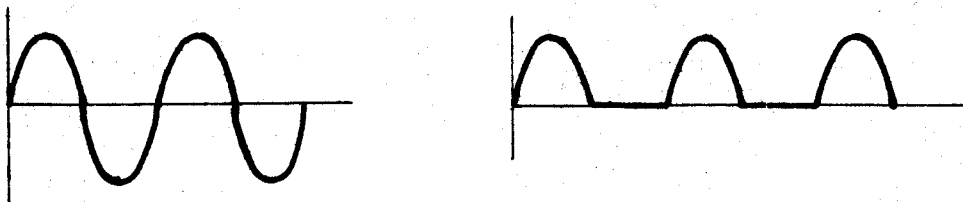
$$B = 1,25 \cdot I \cdot Z \cdot \frac{l}{v} \quad [\text{G}]$$

dostáváme

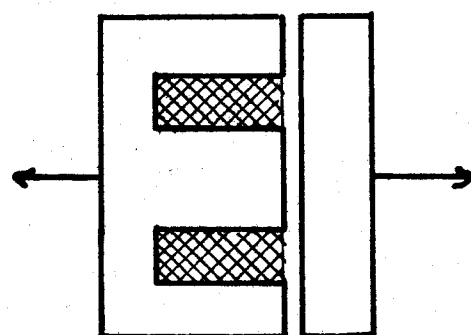
$$F = \frac{6,25 \cdot Z^2}{v^2} \cdot s \cdot I^2 \cdot 10^{-8} \quad [\text{kg}]$$

Použijeme-li střídavého proudu $I = A \sin \omega t$ dostáváme pak ve vztahu pro sílu po umocnění $I^2 = A^2 \sin^2 \omega t = = A^2 / \frac{1}{2} - \frac{\cos 2\omega t}{2}$. Z toho vyplývá, že síla má dvakrát větší frekvenci než proud. Při 50 c/sec by síla tehdy měla 100 c/sec. Z toho důvodu střídavý proud jednocestně usměrníme selénovým usměrnovačem, který nám vlastně odřízne spodní půlvolnu a dosáhneme tak tepavého

proudů a frekvence síly bude souhlasit s frekvencí proudu.



Jádro elektromagnetu upevníme tedy na stojanu stroje a kotvu spojíme se sítí. Vratný pohyb síta budou vykonávat pružiny.



Výpočet síly, kterou vyvine elektromagnet.

$$v = 0,5 \text{ cm}$$

$$z = 400$$

$$l = 75 \text{ m}$$

$$\rho = 0,045 \Omega \text{ mm}^2 / \text{m}$$

$$d = 0,6 \text{ mm}$$

Odpor vodiče v elektromagnetu

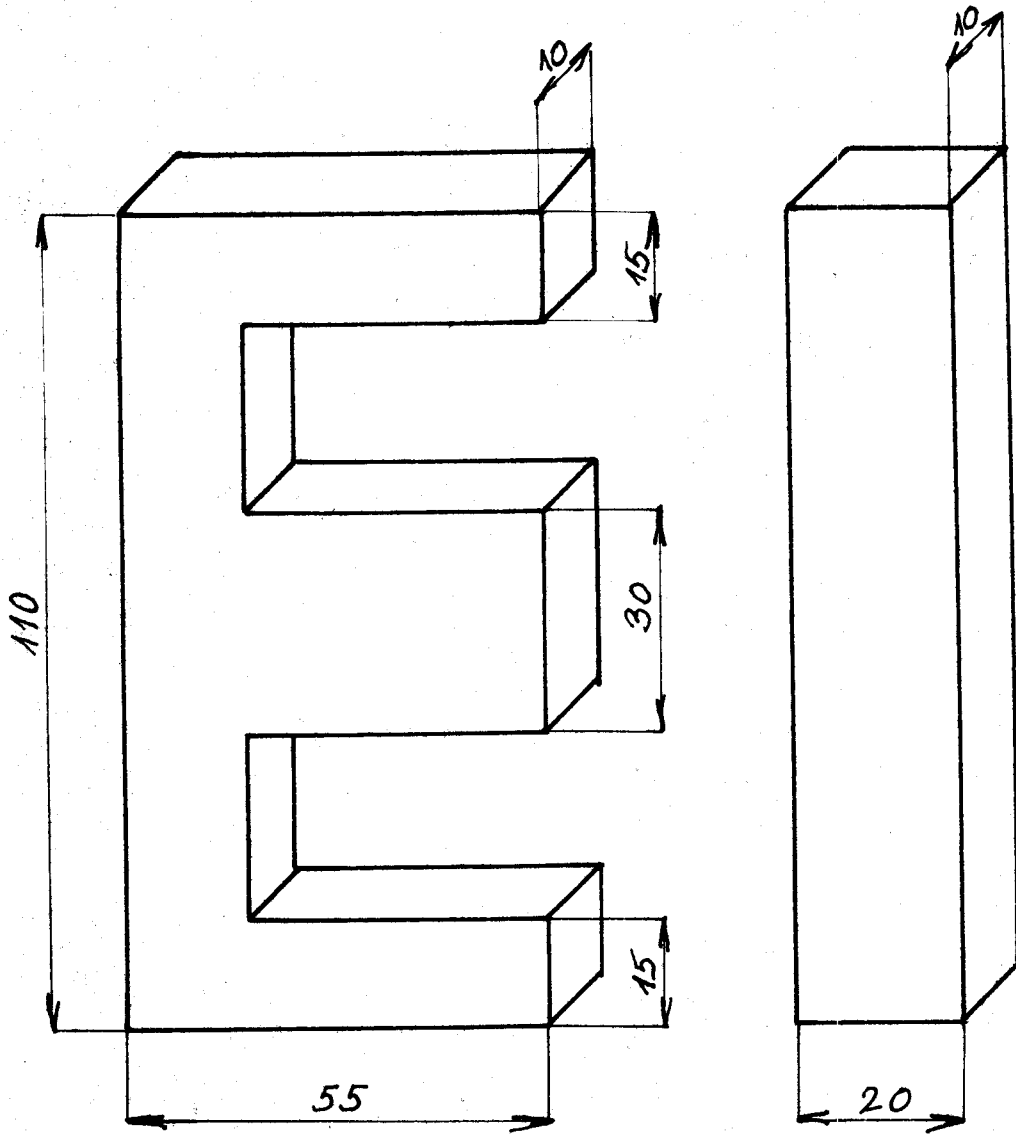
$$R = \rho \cdot \frac{l}{S_1}$$

$$R \dots \text{odpor vodiče} \quad \Omega$$

$$l \dots \text{délka vodiče} \quad \text{m}$$

$$\rho \dots \text{specifický odpor} \quad \Omega \text{ mm}^2 / \text{m}$$

$$S_1 \dots \text{průřez vodiče} \quad \text{mm}^2$$



Návrh rozměrů jádra a kotvy elektromagnetu
pro pohyb dávkovacího sítu

$$R = 0,045 \cdot \frac{75}{0,28}$$

$$R = 12 \Omega$$

$$I = \frac{U}{R}$$

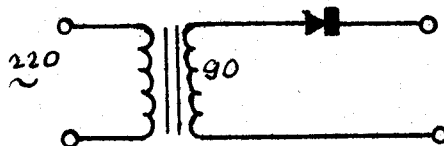
$$I = \frac{90}{12}$$

$$I = 7,5 A$$

Dosazením do vzorce pro sílu dostáváme

$$F = \frac{6,25}{0,25} 160000 \cdot 6 \cdot 56,5 \cdot 10^{-8}$$

$$F = 13,4 \text{ kg}$$

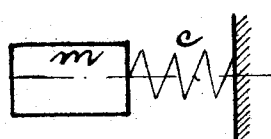


Schema zapojení usměrňovače.

Výpočet vratné pružiny.

Váha síta i s kotvou $G = 4,5 \text{ kg}$

Zanedbáme-li odpory, dostaneme diferenciální rovnici pro netlumený kmitavý pohyb.



$$\begin{aligned} m \cdot \ddot{x} + c \cdot x &= 0 \\ \ddot{x} + \frac{c}{m} \cdot x &= 0 \end{aligned}$$

Z toho frekvence

$$\omega = \sqrt{\frac{c}{m}}$$

ω ... frekvence c / sec c ... konstanta pružiny kg / cm

m ... hmota síta

$$c = \omega^2 \cdot m$$

$$c = 2500 \cdot 0,456 = 1140 \text{ kg/m}$$

$$c = 11,4 \text{ kg / cm}$$

Stlačení pružiny $y = 0,5 \text{ cm}$

$$F = c \cdot y = 11,4 \cdot 0,5$$

$$F = 5,7 \text{ kg}$$

Budou dvě vratné pružiny proto $F = 3 \text{ kg}$.

$$F = \frac{\xi}{k_1} \cdot \frac{\pi}{8} \cdot d^2 \cdot$$

$$\xi = \frac{d}{2r}$$

$$k_1 = 1 + \frac{5}{4}\xi + \frac{7}{8}\xi^2 + \xi^3$$

 d ... průměr drátu r ... střední poloměr závitu

$$t_o = 3500 \text{ kg/cm}^2$$

$$\xi = 0,1 \quad / \text{zvoleno} /$$

k_1 nám tedy vychází 1,134 dosazením do rovnice pro F dostáváme vztah

$$d = \sqrt{\frac{F \cdot k_1 \cdot 8}{\xi \cdot \pi \cdot t_o}}$$

$$d = \sqrt{\frac{3 \cdot 1,134 \cdot 8}{0,1 \cdot 3500}} = \sqrt{0,027}$$

$$d = 1,6 \text{ mm}$$

Ze vztahu pro ξ dostáváme, že střední poloměr závitu pružiny $r = 8 \text{ mm}$

$$c = \frac{1}{k_2} \cdot \frac{d^4}{64ir^3} G$$

$$y = \frac{k_2}{\xi^3} \cdot \frac{8iF}{dG}$$

G ... modul pružnosti ve smyku = 800000 kg/cm²

i ... počet činných závitů

$$k_2 = 1 - \frac{3}{16} \frac{\xi^2}{\xi^3} \approx 1$$

$$i = \frac{y \cdot \xi^3 \cdot d \cdot G}{k_2 \cdot 8 \cdot F}$$

$$i = \frac{0,5 \cdot 0,001 \cdot 1,56 \cdot 800000}{1 \cdot 8 \cdot 3}$$

$$i = 26$$

Možno tedy shrnout, že vratná pružina pro vyvinutí síly 3 kg bude mít 26 činných závitů, průměr drátu 1,6 mm, střední poloměr závitu 8 mm.

Výpočet otáček dávkovacího válce.

průměr válce $d = 63$ mm

délka válce $l = 1100$ mm

síla vrstvy PE $t = 3$ mm

spec. váha prášku PE $\rho = 0,499$ g/cm³

Objem na obvodu

$$V = \pi \cdot d \cdot l \cdot t = 18 \cdot 110 \cdot 0,3 = 595 \text{ cm}^3$$

Váha PE, kterou válec dodá za 1 otáčku

$$G_1 = V \cdot \rho$$

$$G_1 = 595 \cdot 0,499 = 296 \text{ g}$$

Výrobní rychlosť $v = 3,75$ m/min

Šíře tkaniny $s = 1100$ mm

Plocha látky proběhlá za 1 min

$$S = v \cdot s$$

$$S = 3,75 \cdot 1,1$$

$$S = 4,12 \text{ m}^2$$

Potřebné množství PE za 1 min při požadované síle

vrstvy 40 g/m²

$$G_2 = 164 \text{ g/min}$$

Otačky dávkovacího válce

$$n = \frac{G_2}{G_1}$$

$$n = \frac{164}{296}$$

$$n = 0,55/\text{min}$$

Pro pohon nabálecího zařízení a dávkovače je navržen asynchronní elektromotor přes variátor pro regulaci rychlosti.

Elektromotor AF 344/6

1,5kW

935ot/min

variátor "Z" 1030176

výkon do 2k

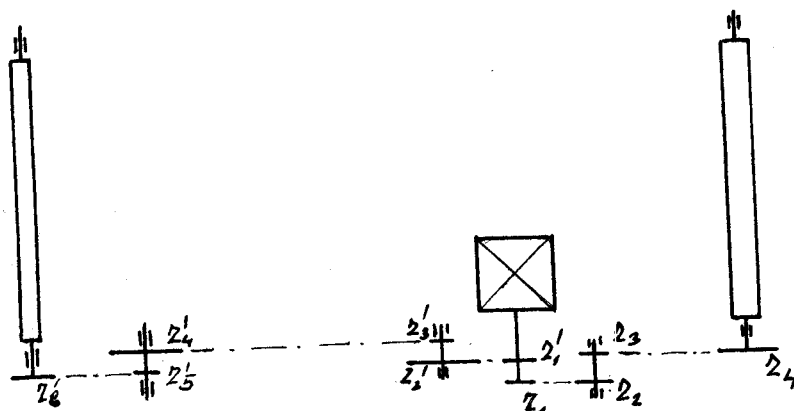
dálková elektrická regulace EDH

hnací otáčky 920/min

výstupní otáčky minimální 14/min

maximální 42/min

Pohon řešit všude válečkovým řetězem $t = 12,7 \text{ mm}$



$$z_1 = 24$$

$$z'_1 = 24$$

$$z_2 = 28$$

$$z'_2 = 54$$

$$z_3 = 18$$

$$z'_3 = 10$$

$$z_4 = 36$$

$$z'_4 = 54$$

$$z_5 = 10$$

$$z'_5 = 10$$

$$z_6 = 21$$

Výpočet otáček nabáleciho válce

$$v = \frac{\pi d \cdot n}{1000}$$

$$n_v = \frac{1000 \cdot v}{\pi \cdot d}$$

$$n_v = \frac{1000 \cdot 3,75}{3,14 \cdot 200} = 5,95/\text{min}$$

$$n_v = 6/\text{min}$$

Kontrola

$$n_n = n_v \cdot \frac{z_3 \cdot z_4}{z_2 \cdot z_4}$$

$$n_n = 12 \cdot \frac{18 \cdot 24}{28 \cdot 36}$$

$$n_n = 6/\text{min}$$

Kontrola převodu na dávkovací válec

$$n_d = \frac{n_v \cdot z'_1 \cdot z'_3 \cdot z'_5}{z'_2 \cdot z'_4 \cdot z'_6}$$

$$n_d = \frac{14 \cdot 24 \cdot 10 \cdot 10}{54 \cdot 54 \cdot 21}$$

$$n_d = 0,545/\text{min}$$

V obou případech počty zubů na řetězových kolech nám dávají požadované otáčky. S potřebou větší výrobní rychlosti možno regulovat otáčky variátorem.

Nabálecí zařízení.

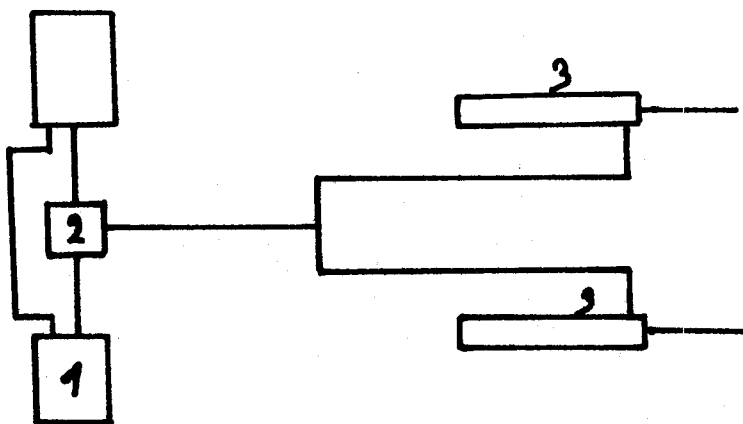
Požadavkem n.e.p. Lina bylo nabálecí zařízení na velké průměry. Toto zařízení u nás není dosud seriově vyráběno a závody si je většinou staví sami.

Byla navržena ramena s náhonem nabálecího válce uvnitř.

/ Modely pro odlitky ramen vlastní n.p. Tiba - Slovany,
Dvůr Králové n.L. Z těchto odlitek bylo při konstrukci
nabálecího zařízení vycházeno. /

Při výměně vozíků po nabalení na plný průměr, který je
zde řešen pro maximální průměr 1600 mm, je nutné ramena
s nabálecím válcem zvednout. Závody to řeší tím způsobem,
že zvedají tahem lana přes kladku a rumpál, kterým
pracovník musí otáčet pomocí kliky. Zde je zvedání řeše-
no hydraulickými válci a potřebný tlak je vyvozen ruč-
ním čerpadlem.

Čerpadlo nasává tlakovou kapalinu z výše položené nádr-
že přes dvojcestný ventil do pracovních válců. Při po-
třebě klesnutí ramen s nabálecím válcem na prázdný vo-
zík přepne se ventil a ten nám tlak přepustí zpět do
nádrže.



Čerpadlo RGK - výrobce Technometra Praha

výkon 280 cm^3 / 10 dvojzdvihů

tlak $40 \text{ kg} / \text{cm}^2$

Kohout CT 5500 - 1350 E - výrobce Technometra Praha

Pracovní válce JHVJ

\emptyset pýstu 32 mm

zdvih 250 mm

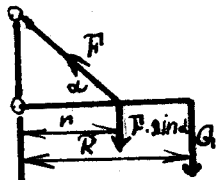
1

2

3

Tlakové kapalina LT - CIA

Pro náš případ požadujeme zdvih pístu 205 mm, čemuž odpovídá ve válci objem kapaliny



$$V = S \cdot \text{zdvih}$$

$$V = 8 \cdot 20,5$$

$$V = 168 \text{ cm}^3$$

Při výkonu čerpadla 280 cm³/ 10 dvojzdvihů, celý zdvih se provede tedy za 6 dvojzdvihů páky čerpadla.

$$G \cdot R = F \cdot \sin d \cdot r$$

$$F = G \cdot R / \sin d \cdot r$$

$$F = \frac{130 \cdot 120}{0,42 \cdot 60} = 625$$

2 válce s písty o průměru Ø 32 mm

$$p = \frac{F}{2 \cdot S}$$

$$p = \frac{625}{16}$$

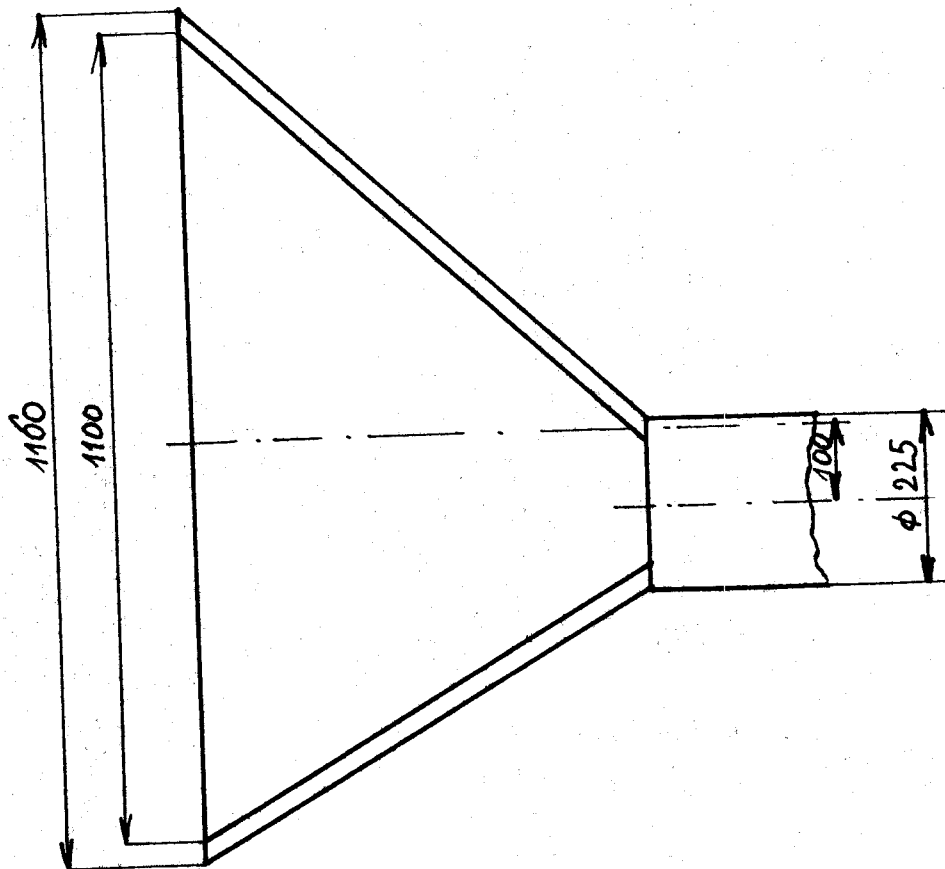
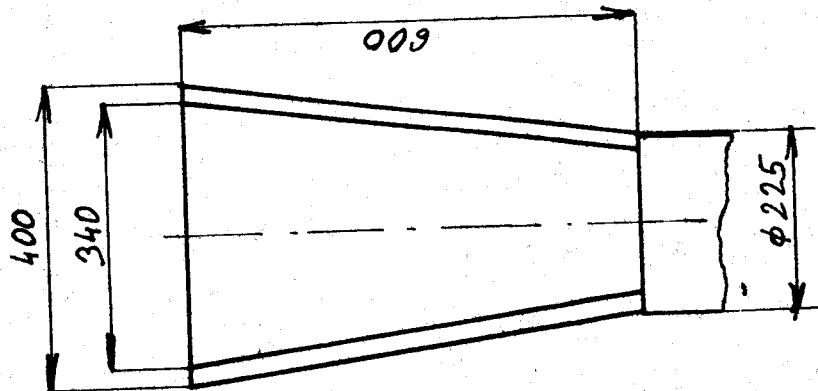
$$p = 39 \text{ kg/cm}^2$$

Čerpadlo bude tedy pracovat s optimálním tlakem.

Zachycování propadlých a neupevněných částeček polyethylenu.

Částečky polyethylenu, které při dávkování dávkovacím systém propadnou tkaninou, nebo přepadnou přes okraj tkаниny, padají do ssacího hrdla, které je řešeno s vnitřním deflektorem. Deflektor nám rovnoměrně rozdělí ssání po obvodu hrdla, takže budou nasávány i částečky přepadlé přes okraj tkaniny. Na výstupu ze stroje je štěrbina po celé šířce tkaniny těsně pod válečkem, kde tkanina mění směr chodu. Tím bude odsáván polyethylen, který se v tavící zoně nauhytil na tkanině. Při tomto bude tkanina chlazena společně s polyethylenem vzduchem, který

Autorské právo se řídí směrnicemi MPO až státní
závěrečné zkoušky č. 1/31
13. července 1962-V...
e dne
31.8.1962 § 19 auto sčeno. zařízení 115/53 S...



Provedení sacího hrádla ventilátoru
pod dávkovačem

bude nasáván přes tkaninu. / Polyethylen má ostrý bod té-
ní, to znamená, že při poklesu teploty pod $105 - 103^{\circ}\text{C}$
je polyethylen tuhý./ Od sacího hrdla s deflektorem prů-
měr potrubí 225 mm , průměr potrubí od štěrbiny na vý-
stupu tkaniny ze stroje $\varnothing 100\text{ mm}$. Obě dvě potrubí napo-
jit pod úhlem 15° . Po napojení potrubí pokračuje průmě-
rem 250 mm k ventilátoru.

Transportní ventilátor odstředivý $\varnothing 250$

výkon $0,75\text{ m}^3/\text{sec}$

Výfuk přes cyklon - zachycování polyethylenu do pytle.

Kontrola výkonu ventilátoru.

Potřebná dopravní rychlosť pro prášek polyethylenu v

$$v = 15 \text{ m/sec}$$

$$N = v \cdot S$$

N ... výkon m^3/sec

v ... rychlosť m/sec

S ... průřez potrubí m^2

$$N = 15 \cdot 0,049$$

$$N = 0,735 \text{ m}^3/\text{sec}$$

Navržený výkon ventilátoru vyhovuje.

Dopravní potrubí vést kanálem o průřezu $300 \times 250\text{ mm}$
nejlépe do přilehlé místnosti, kde bude umístěn venti-

látor aby nerušil pracovníky svým hlukem.

Bude-li stroj umístěn v menší místnosti, nutno počítat
s obnovováním odsátého vzduchu.

Autorské právo se řídí směrnicí M/IV pro stavitelství
Dvěřecké zkoušky ze dne
1. května 1953
číslo 19 autorského zákona č. 115/53 Sb.

Z Á V Ě R .

Bylo navrženo zařízení pro nanášení a upevňování práškového polyethylenu na povrch textilie.

Nanášení dávkovacím válcem, rovnoramenné rozmištování na plochu tkaniny vibračním sítěm, pohon síta elektromagnetem.

Tažící zona - 24 zářičů typu 510 N 750 W.

Vypočtená výrobní rychlosť 3,75 m/min. Zde poznamenané, že vypočtená rychlosť platí pro nejnepříznivější podmínky. Upravíme-li zonu jako komoru se stropem z hliníkového plechu, rychlosť může dvakrát až čtyřikrát stoupnout.

Odsávání nezachycených částic transportním ventilátorem. Nabálení tkaniny na velké průměry.

Takto upravená textilie bude sloužit jako tužící výplň pro klopy, lemy, límce obleků. Přichází tím nová technologie v oděvnictví. Odstraní se stehování a šití této výplňové tkaniny. Tyto operace budou nahrazeny jedinou a podstatně rychlejší - tlakem a ohřátím pod oděvářským lisem se tkanina během několika vteřin uchytí na tkanině vrchní natácením polyethylenu. Tato technologie šití oděvů je používána v oděvních závodech v Prostějově a přináší značné roční úspory.

Seznam použité literatury.

Zdravotní technika a vzduchotechnika
ročník 1960 číslo 2.

Strojnický sborník ročník 1956.

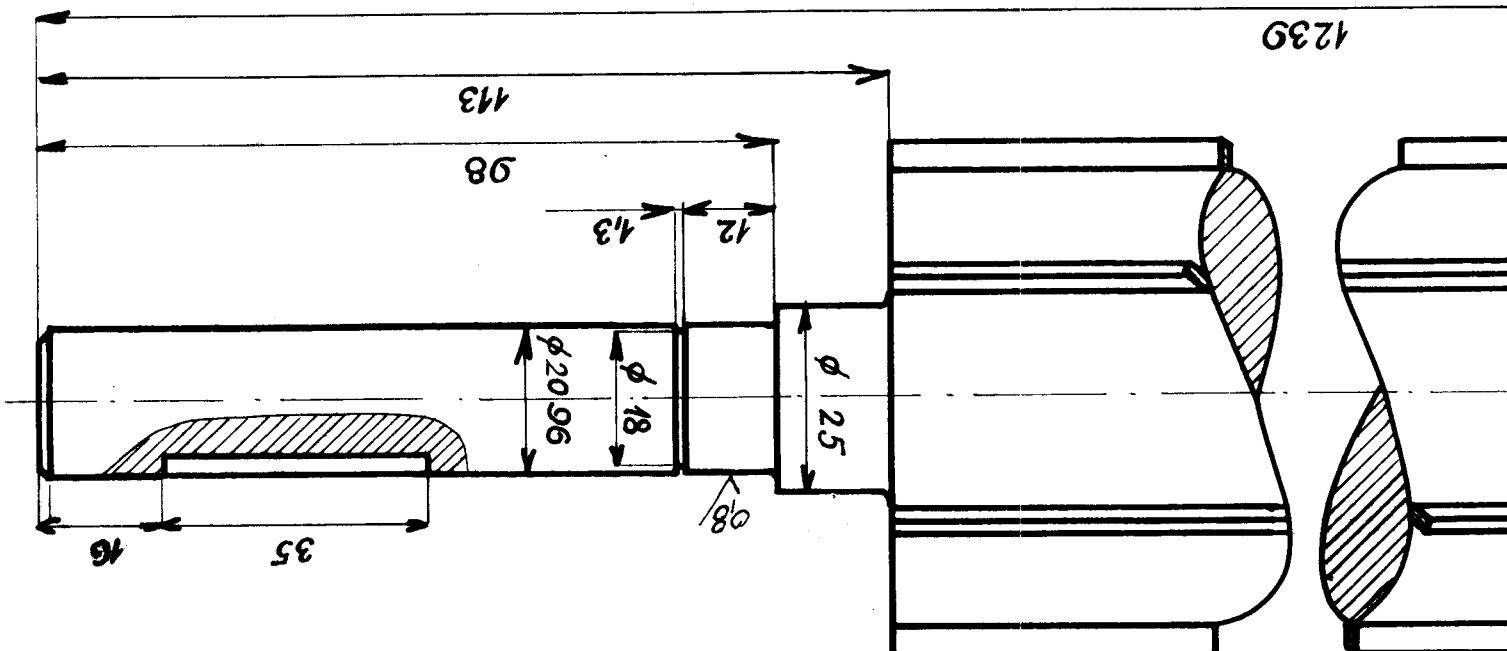
Seznam diagramů .

Křivky tečení P E .	str. 9
Korekční koeficient intenzity sálání	str. 12
Prostorové rozložení intenzity sálání zářiče.	str. 14
Rozložení intenzity sálání v podélném směru .	
zářiče .	str. 15
Rozložení intenzity sálání v příčném směru	
zářiče .	str. 16
Průběh specifického tepla P E	str. 19
Křivky průběhu tepelné energie v zoně	str. 24
Křivky průběhu tepelné energie v zoně	str. 25

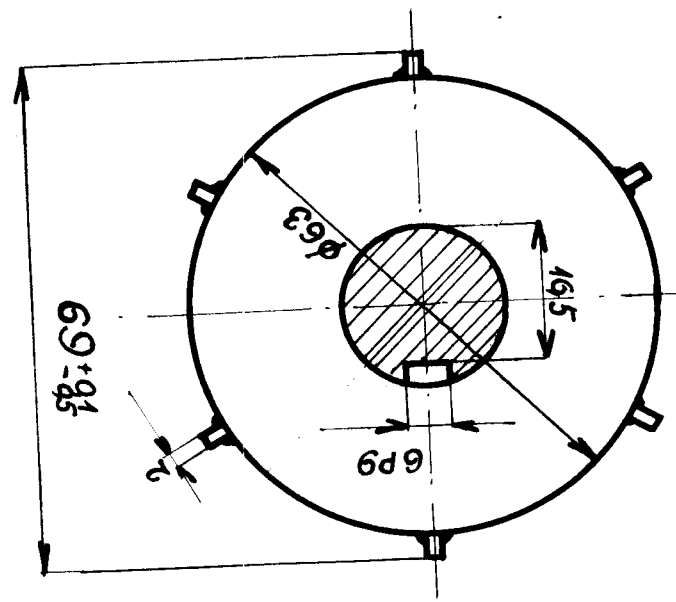
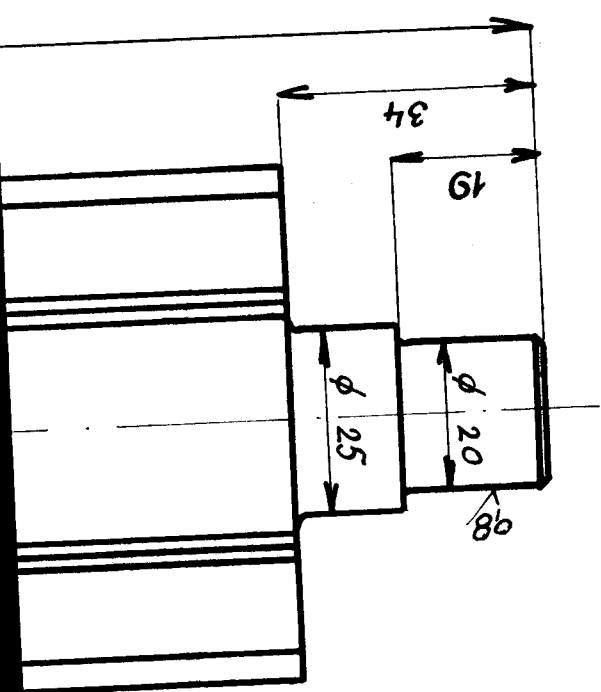
Autorské právo se řídí smlouvou ČMŠK pro státní
závěrečné zkoušky
13. červen 1982 ze dne
31. 8. 1982 24 ze dne
1. 5/53 Šk.

Seznam výkresů.

6365	A0	celková sestava
6365/S1	A1	sestava dávkovače
6365/S2	A2	sestava uložení vodících válců
6365/S3	A1	sestava nabálecího zařízení
6365/2	A3	síto
6365/3	A4	vodič
6365/6	A4	trubka
6365/16	A3	těleso ložiska
6365/17	A3	dávkovací válec
6365/20	A4	víko
6365/21	A4	víko
6365/25	A2	zásobník
6365/29	A4	těleso ložiska
6365/31	A3	vodící válec
6365/38	A2	rameno
6365/39	A2	rameno

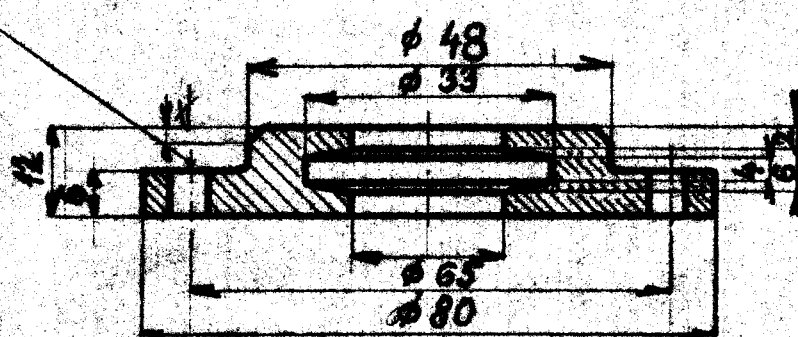


8'0



33

4 OTVORY Ø G.5



1	Ø 80 - 15	113.40					
NAME	NAME + NUMBER	NAME	NAME	NAME	NAME	NAME	NAME
NAME	KOM. S. 1000	NAME	NAME	NAME	NAME	NAME	NAME
NAME	NAME	NAME	NAME	NAME	NAME	NAME	NAME
NAME	NAME	NAME	NAME	NAME	NAME	NAME	NAME
NAME	NAME	NAME	NAME	NAME	NAME	NAME	NAME
NAME	NAME	NAME	NAME	NAME	NAME	NAME	NAME
NAME	NAME	NAME	NAME	NAME	NAME	NAME	NAME

VŠST Liberec
tel. představení

VIKO

6365 / 21

112

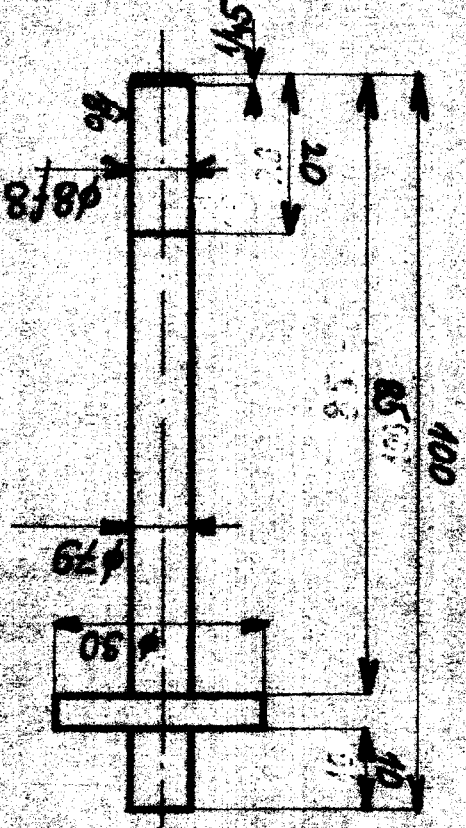
Pocet HHT

6365/3

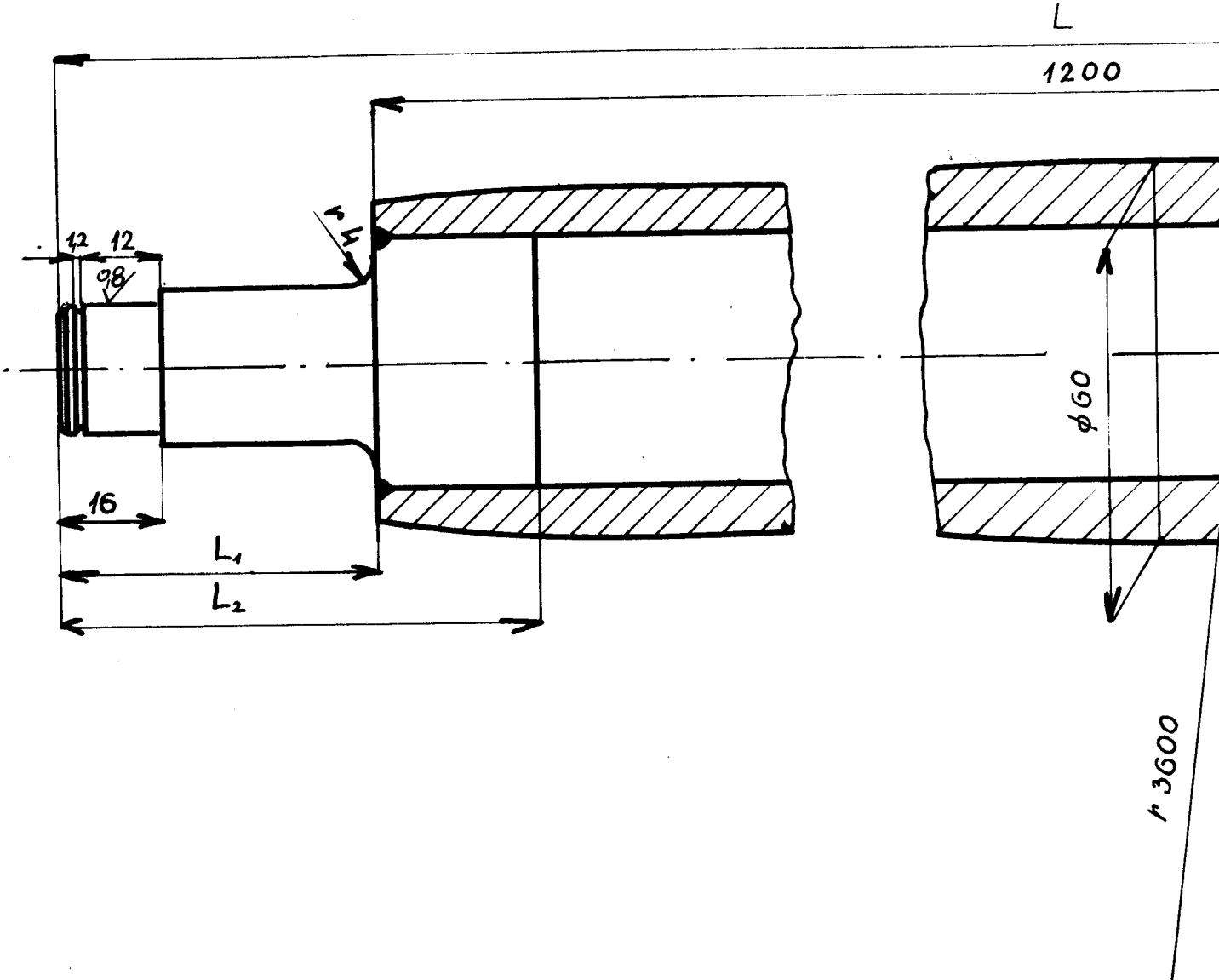
VODIC

VSSST LL/EEC
tol. pladelejciwi

Pozadnica		Prezhousei		Norm. vel.		A.1	
Metru		Metru		Metru			
Pozadnica	Nazev - Rozměr	Polecevka	Met. koncovky	Met. vrcholy	vid.	x	Výška
							Císař Václav
							Pos.
	Ø30x102	11390					
	Kačík 60R						

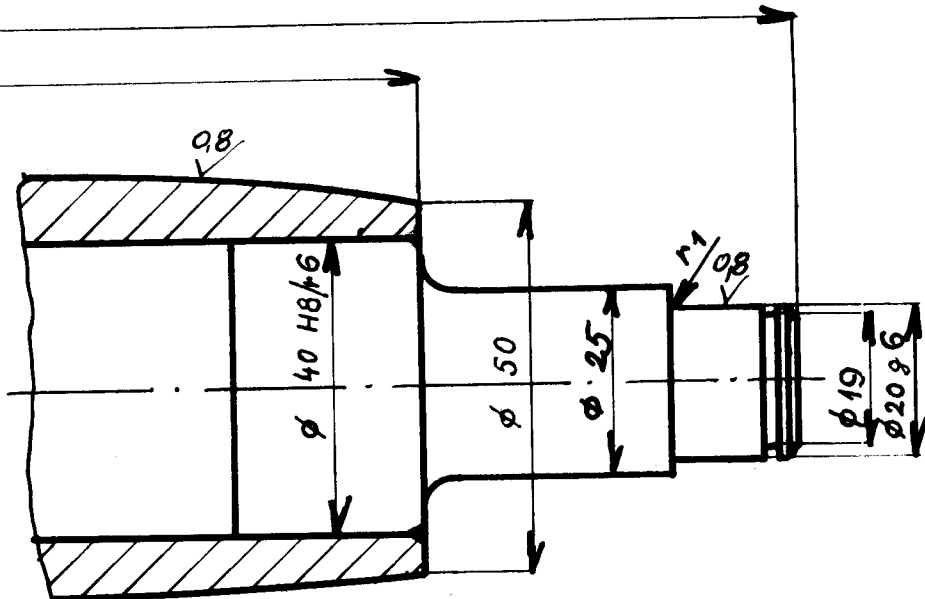


(60) 60

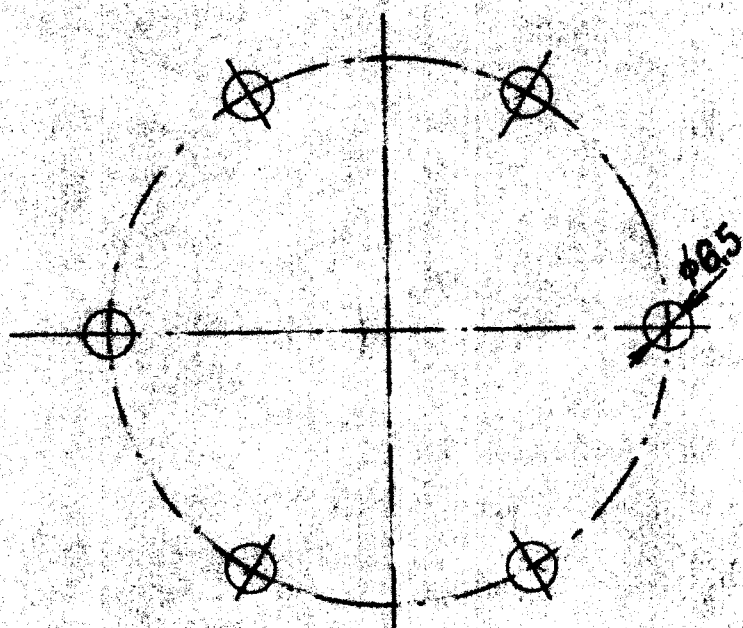
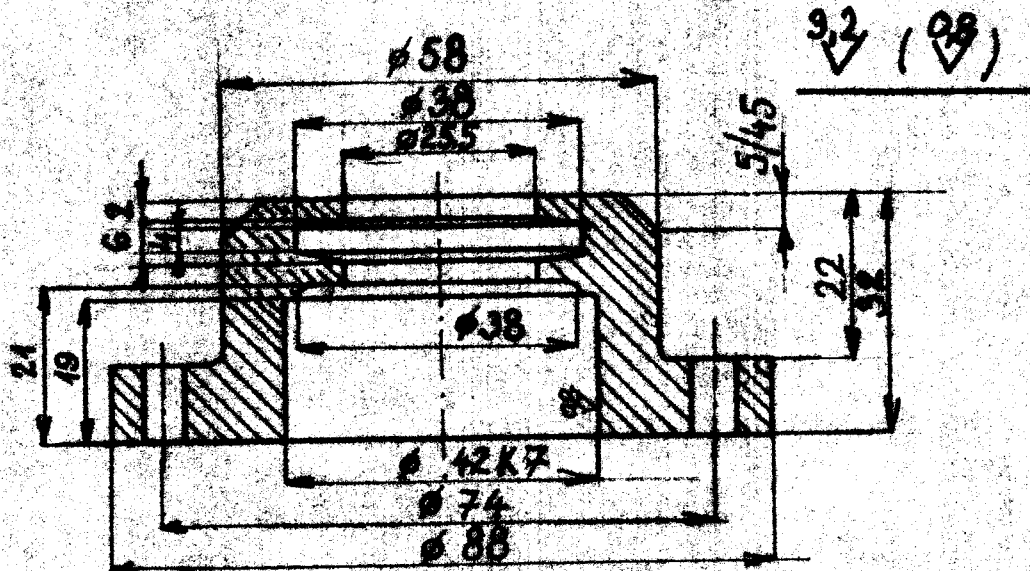


	L	L_1	L_2
8 kusů	1294	47	72
2 kusy	1460	136	155

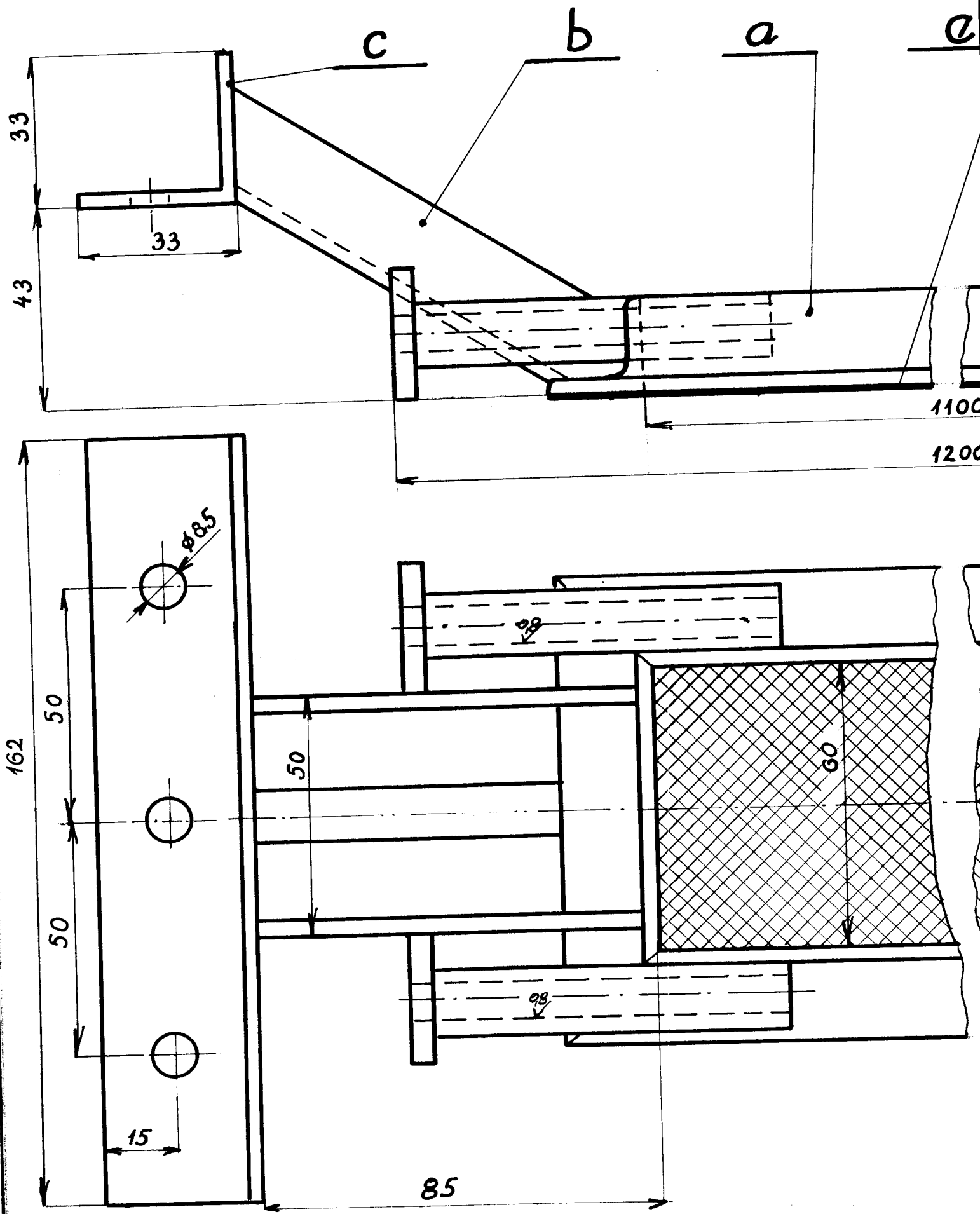
3,2 9,8



8+2	a č	φ 40 x L2 Trubka φ 60/10 x 120,5	113,90						
Počet kusů	Název - Rozměr	Poločvar	Mat. konečný	Mat. výchozí	Tloušťka	výška	Hr. výška	Číslo výkresu	Pos.
<i>Opakování výkresu</i>									
Měřítko	Kreslil <i>Karel Řecl</i>		Cílový						
1:1	Překoušel								
	Normy, roly								
	Výkresnice /		Č. kres.		Drozd	Poh.	Inzer	Změny	
									x
									x
									x
									x
Výkres		Skupina			Uv. výkres				
VŠST Liberec									
kat. přádelnický		VÁLEC			6365 / 31				



20	490x35	41370				
Název - Rozměr.	Polepovac	Mot. konečný	Mot. východ	Thrust Otoč.	váha	Hr.váha
Rozměr a o				kg		Číslo výkresu
Karel Karel						Pos.
Práce						
Norm. ref.						
Vý. projech 1						
4:1						
Skupina						
6365						
VŠST Liberec	TELESO	Nový výkres				
kat. předělnictví	LOZISKA	6365 / 29				

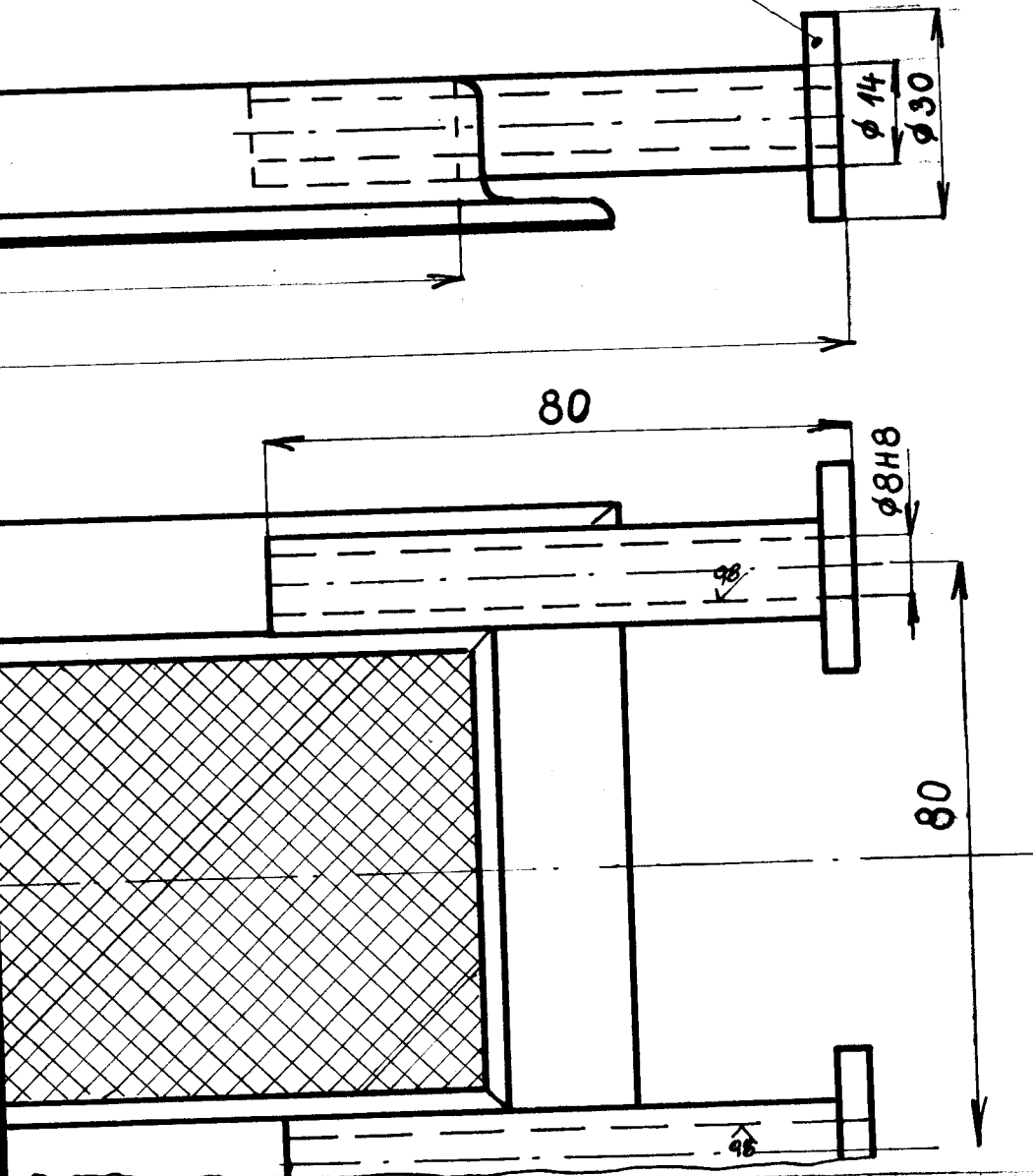


1	SITO				
4	VODIC'	$\phi 30 \times 81$		11370	KALIT GO RE
1	NOSIC'	3 x 66 x 162		11370	
2	VZPERA	L 20 x 20 x 3 ... 105			
2(2)	BOKY SITA	L 20 x 20 x 3 ... 100 (1140)			

d

50

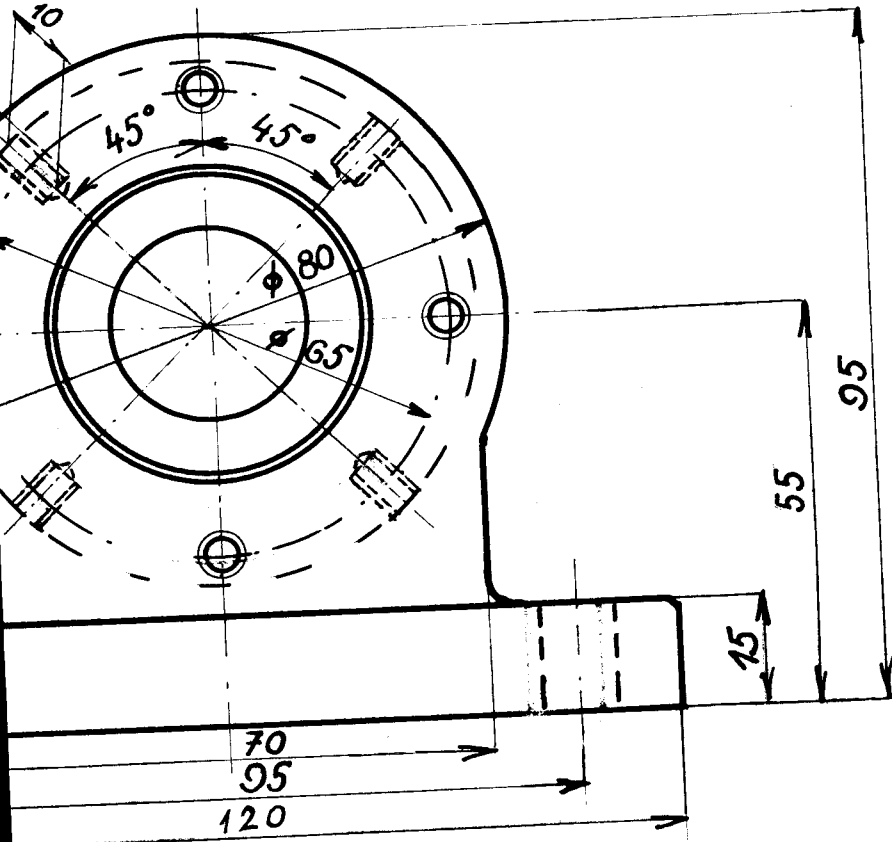
0,8



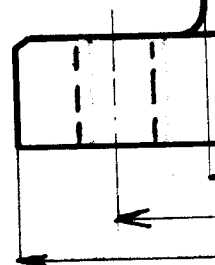
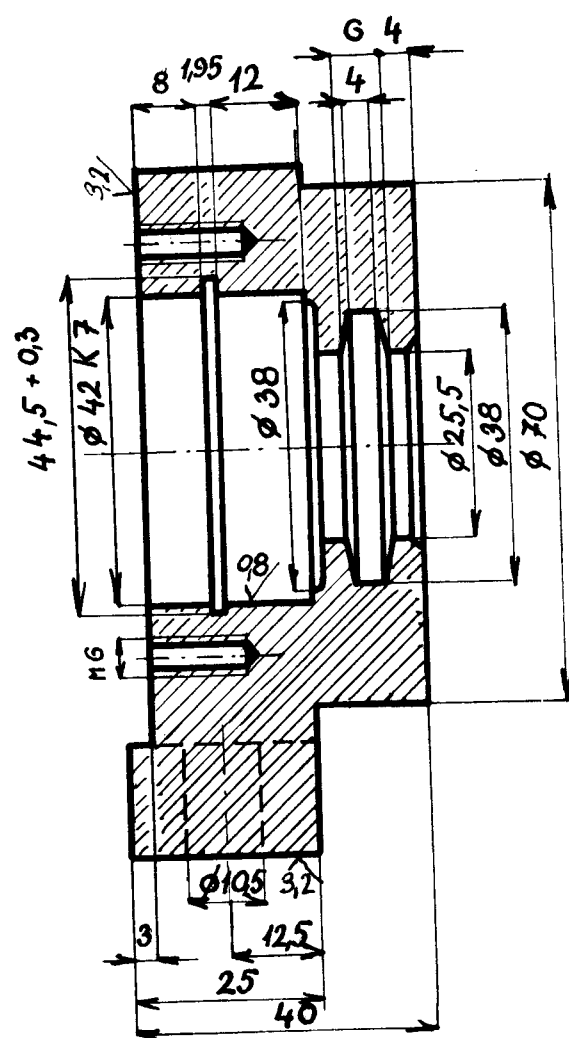
1	Název - Rozměr	Půdorys	Mot. konecny	Mat. výrobek	Stav	Hlavice	Číslo výkresu	Pos.
Počet kusů								
Poznámka								
Měřítko	Kreslil Karel Raus			SR				
1:1	Pezkošel							
	Norm. ref.							
	Výkres č. 1							

Výkres	Název	Skúzba	Uložení výkresu	Číslo výkresu
VŠST Liberec kat. přádelníctví	SÍTO			6365/2

63 (3,3 08)



2	Název - Rozměr	Poločvar	Mat. konečný	422420			Cílo výkresu	Pos.	
Počet kusů	Doporuč. výrobek								
Pozn. ruky									
Měřítko	Plánovaný								
1:1	Pracovní								
Pozn. ruky									
Výkres									
Skupina				Výkres					
VŠST Liberec	TĚLESO. LOŽISKA				6365 / 16				
kat. přádelníctví									



三



9.2

